



Leçon N. 2 - 11 mars 2024

**Alessandro
MORBIDELLI**

Chaire

Formation planétaire: de la Terre aux exoplanètes

Les interactions dynamiques

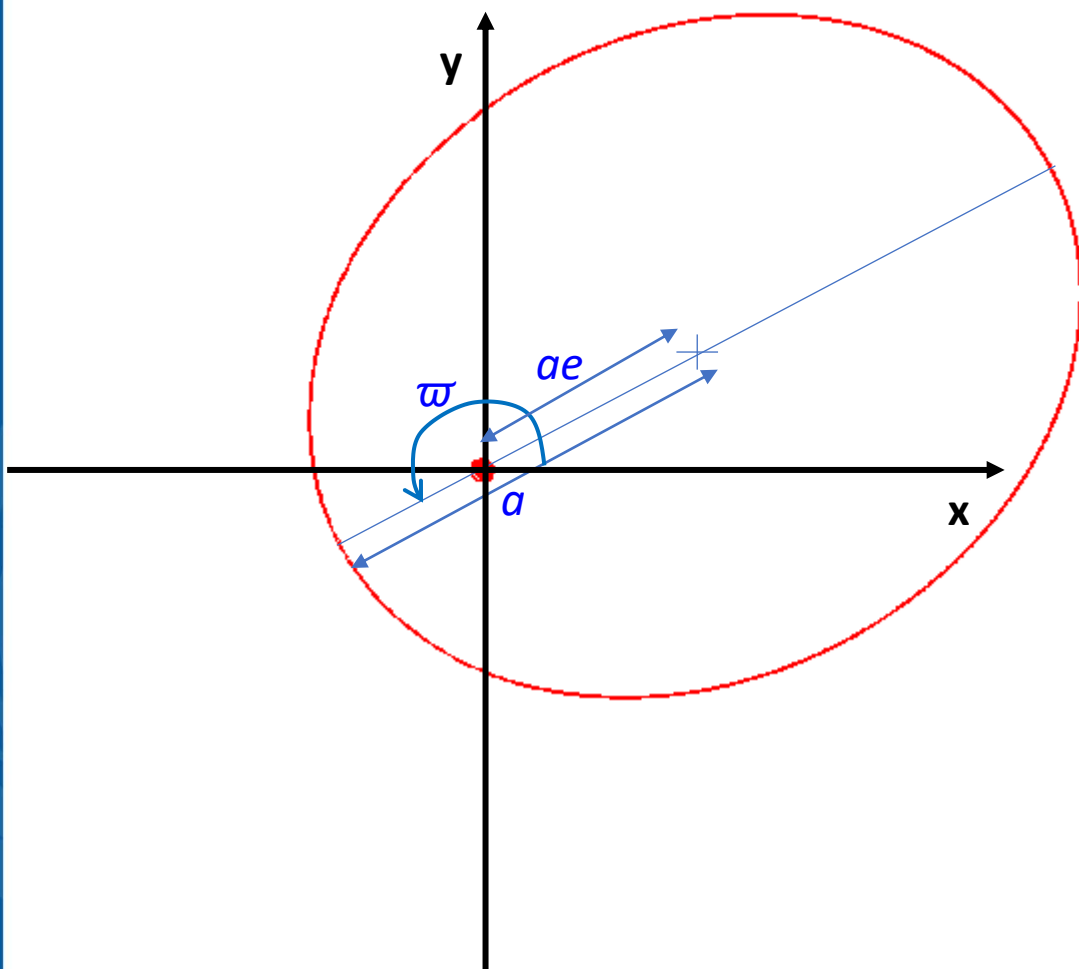


Les orbites elliptiques

a : demi grand axe

e : excentricité

ϖ : longitude du périhélie



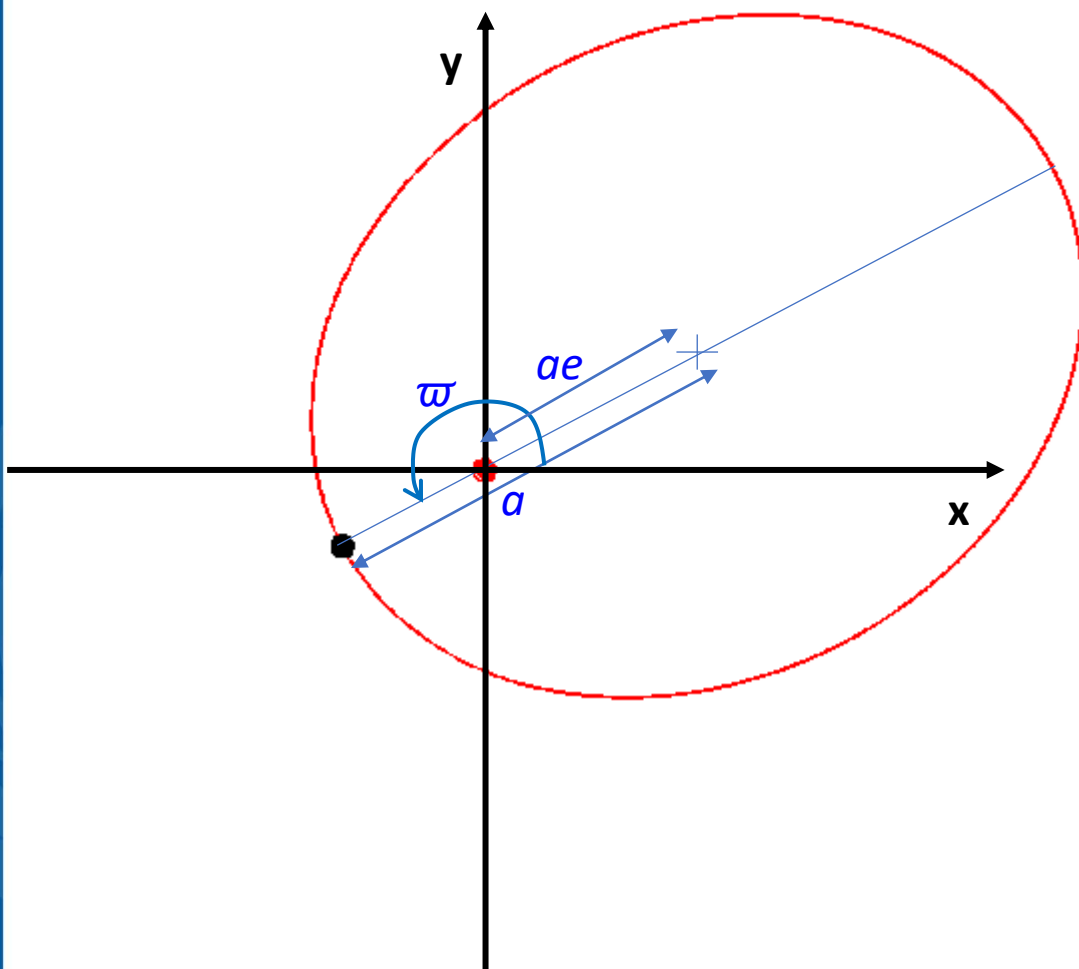


Les orbites elliptiques

a : demi grand axe

e : excentricité

ϖ : longitude du périhélie



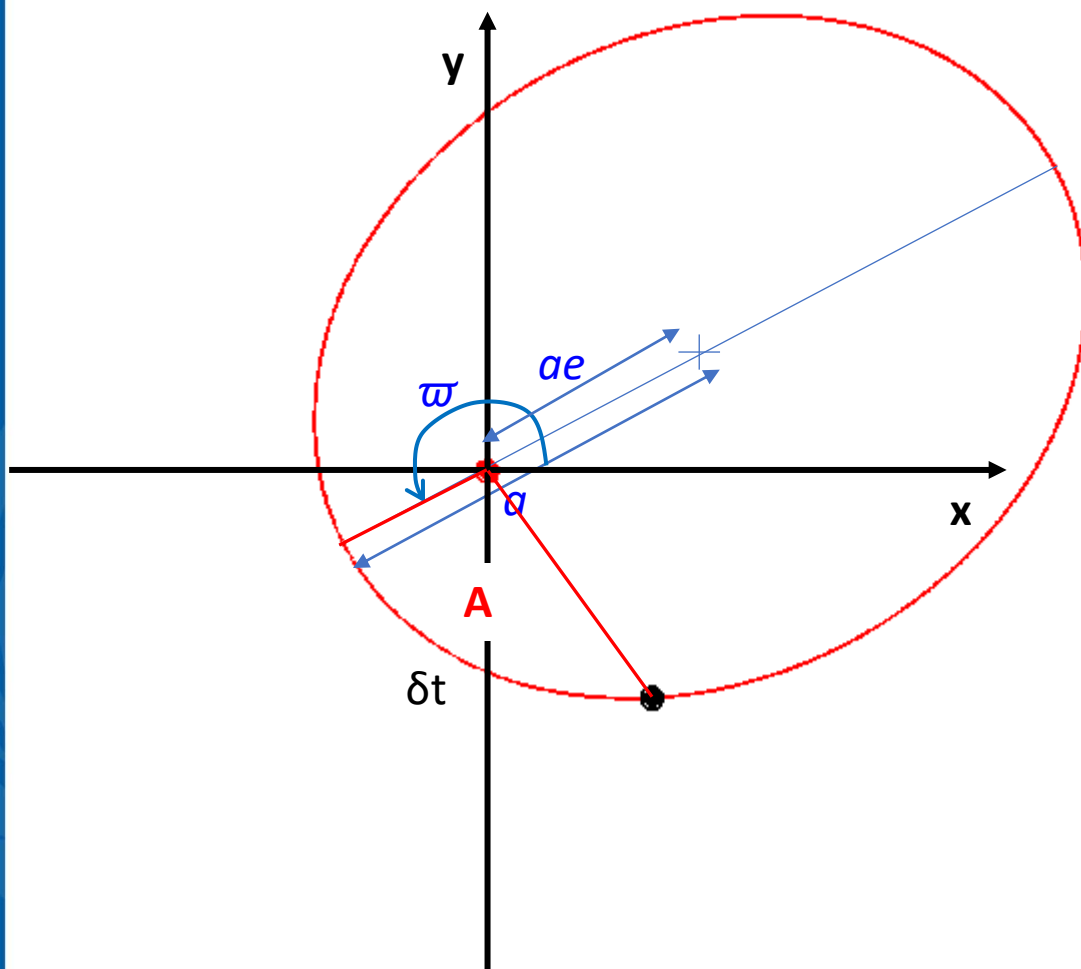


Les orbites elliptiques

a : demi grand axe

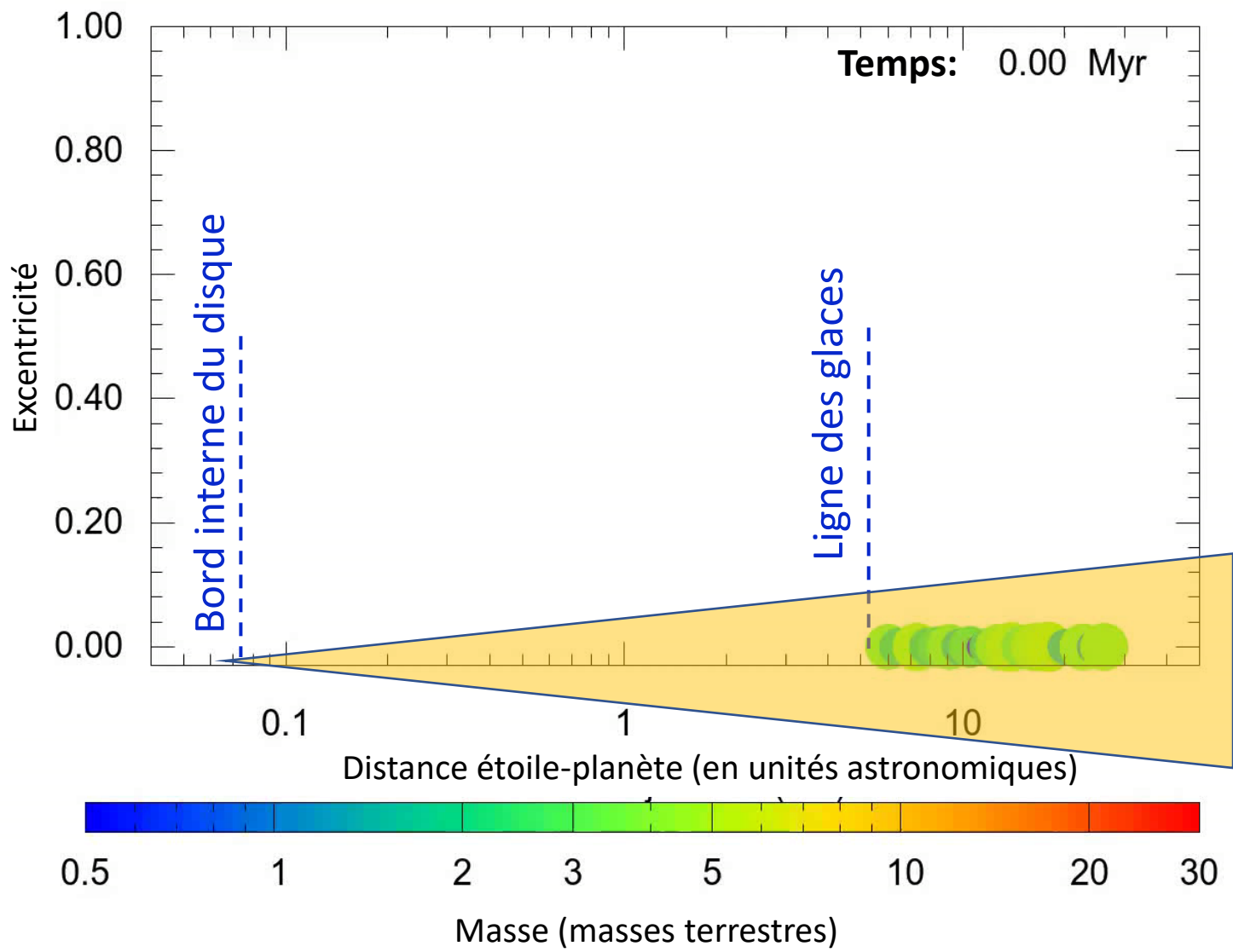
e : excentricité

ϖ : longitude du périhélie



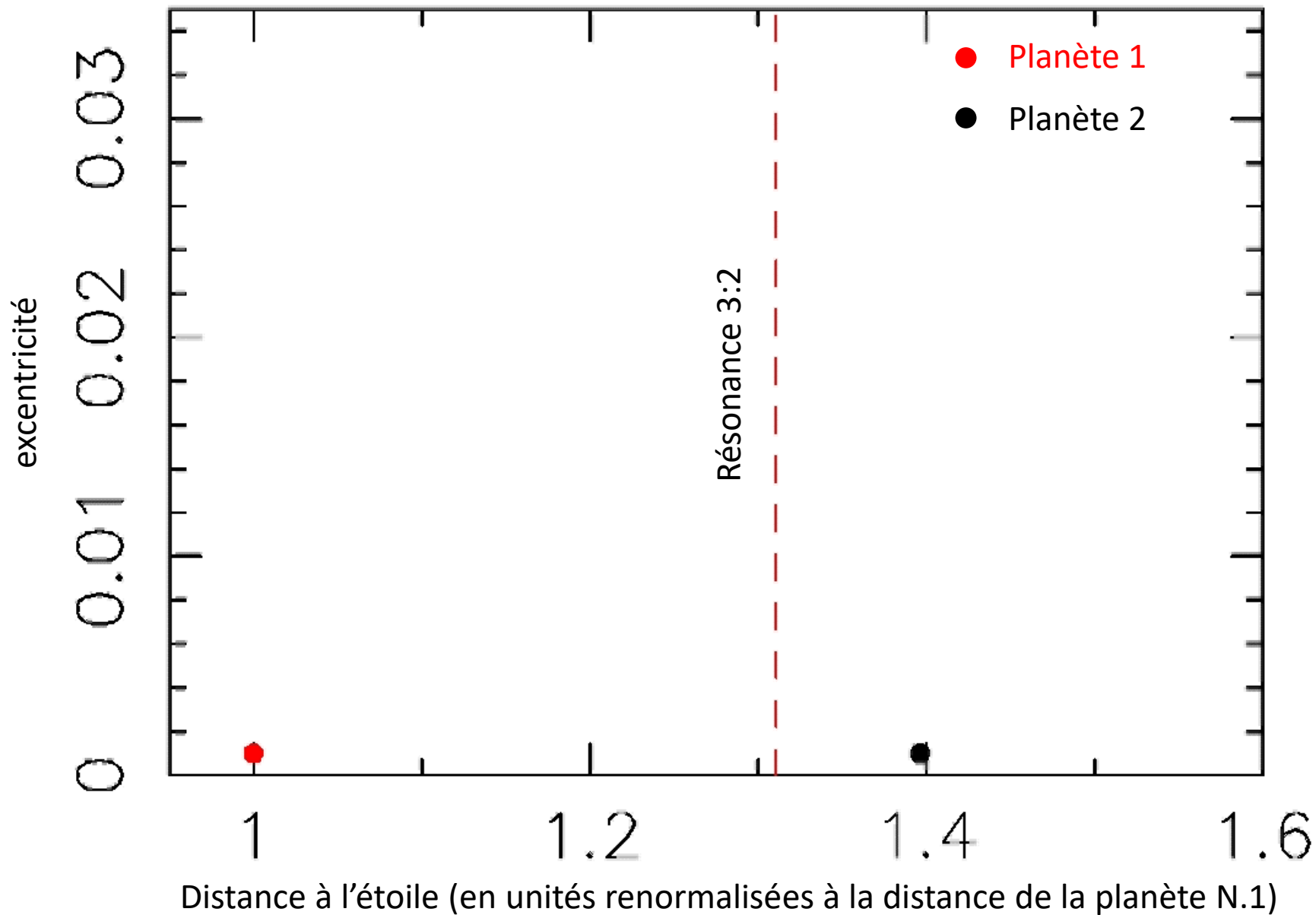


Exemple de migration d'un système de Super-Terres



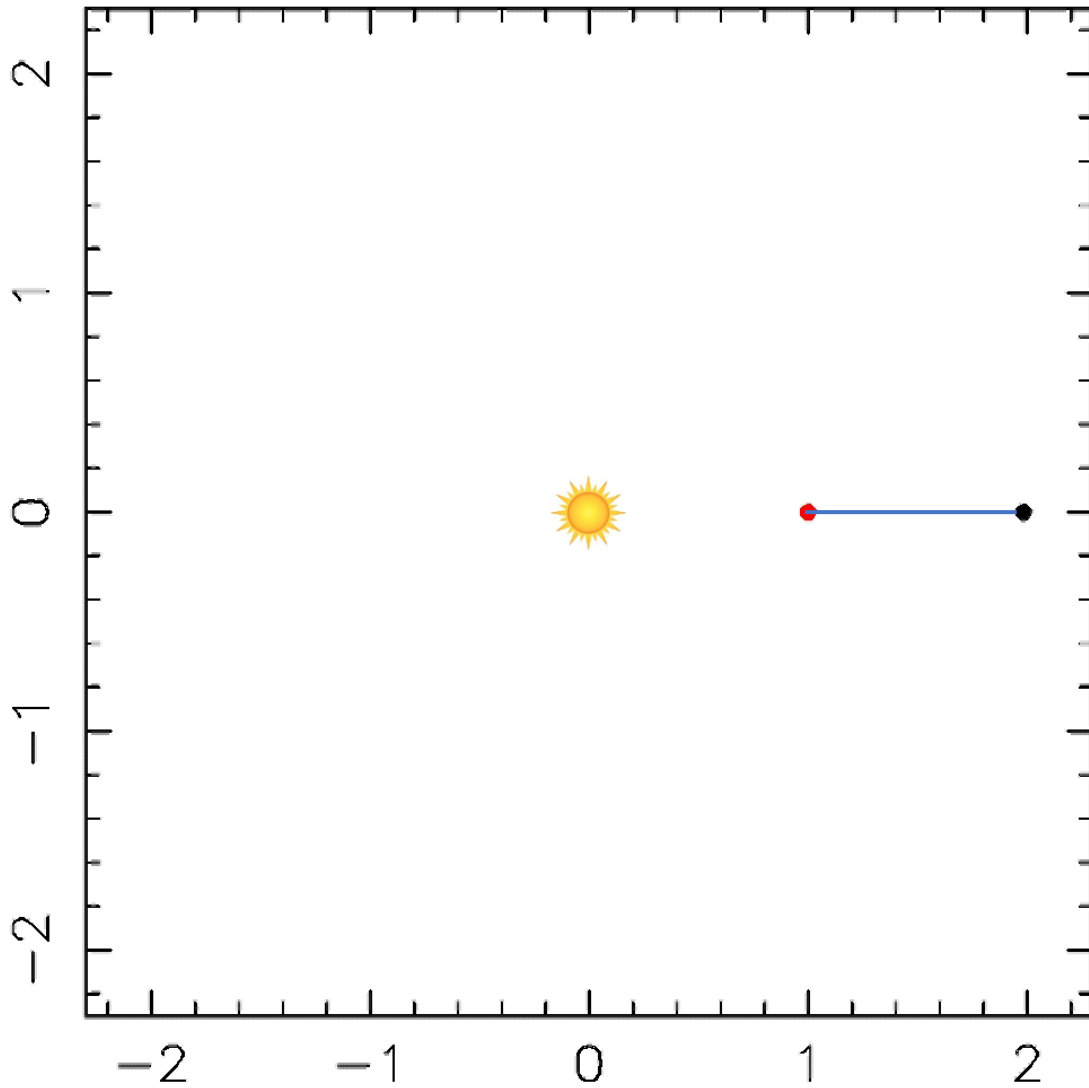


Migration convergente de deux planètes





Exemple de résonance (2:1)



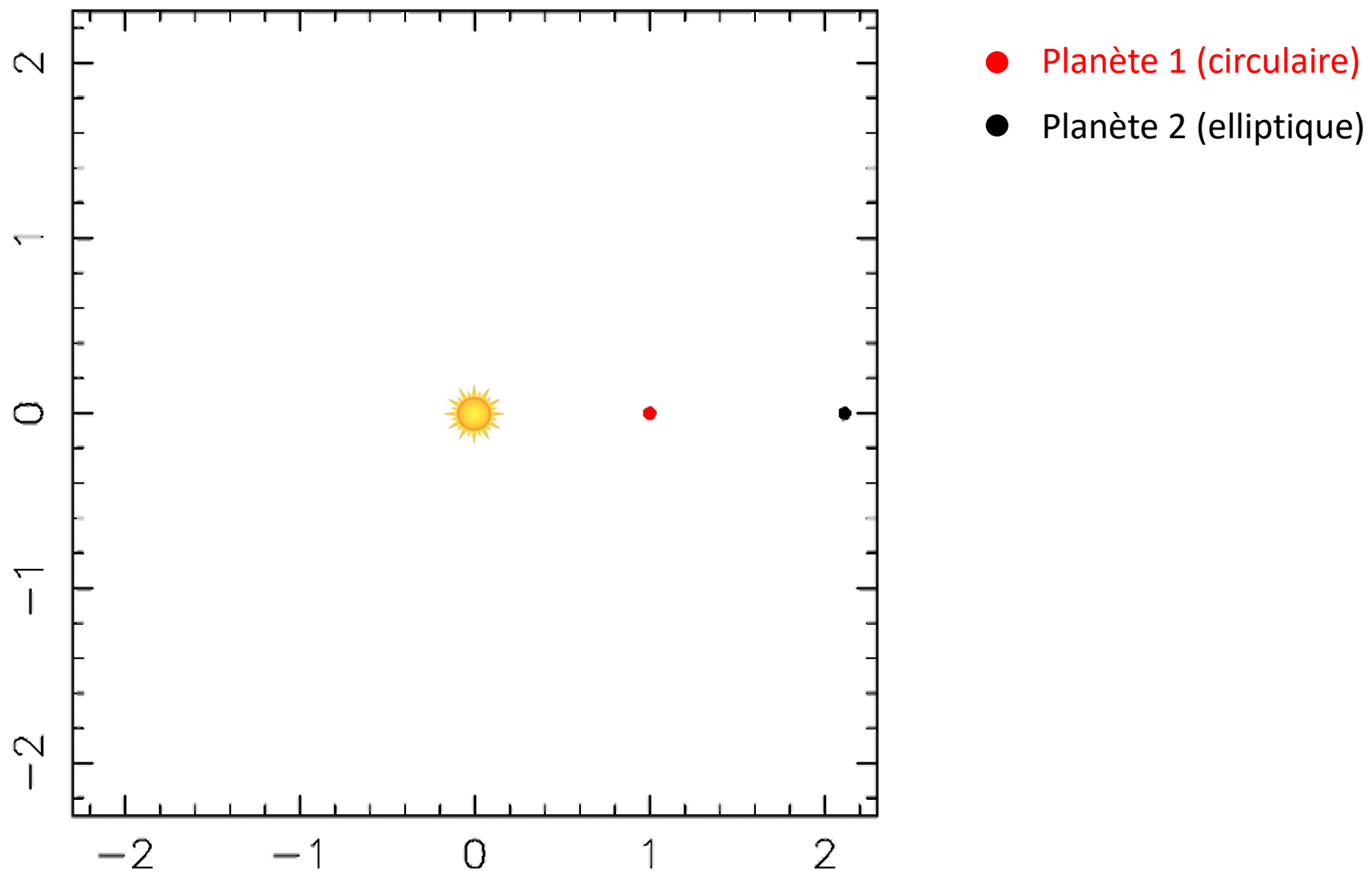
● Planète 1 (circulaire)

● Planète 2 (elliptique)

Conjonction = distance d'approche minimale

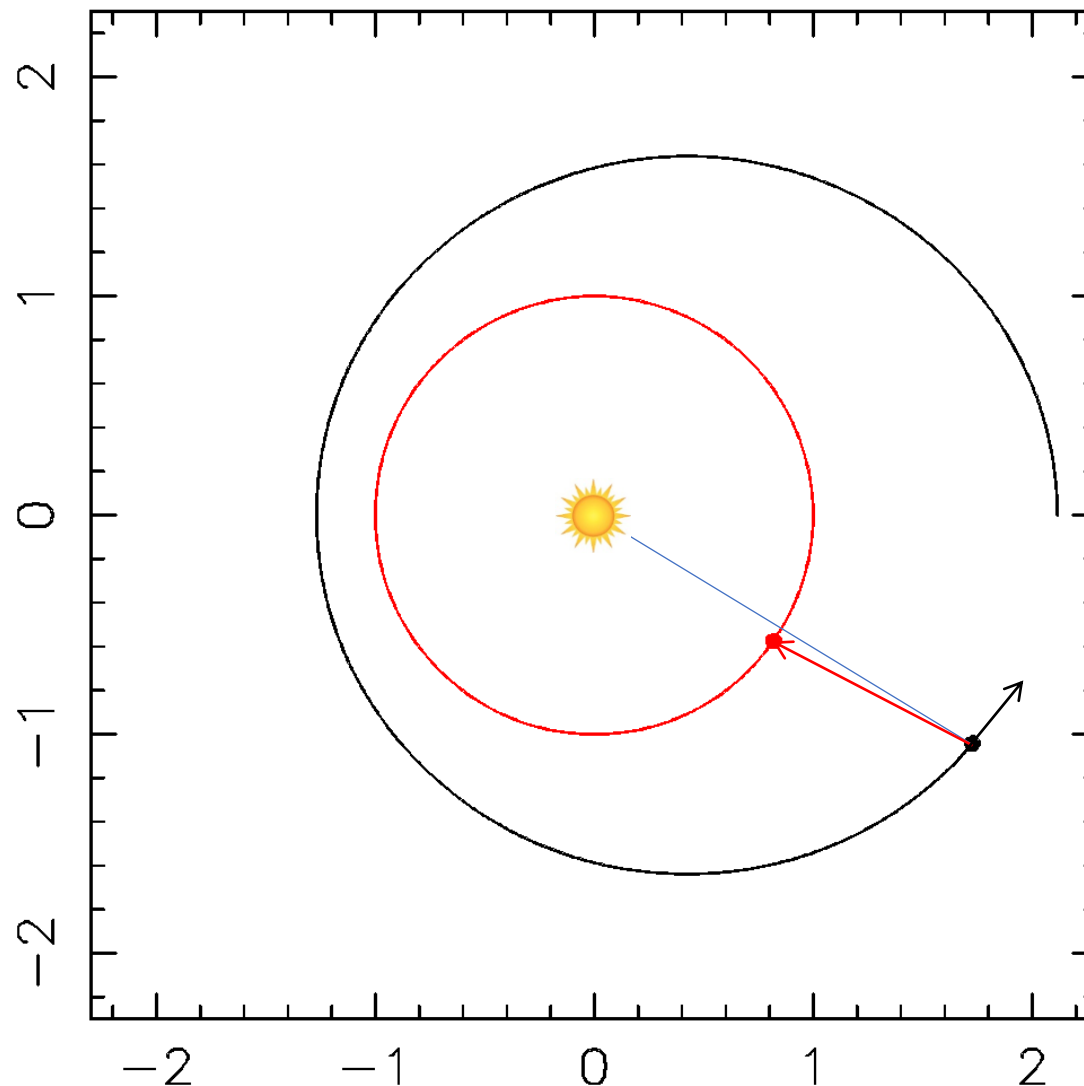


Cas légèrement extérieur à la résonance (2:1)





Configuration d'approche minimale



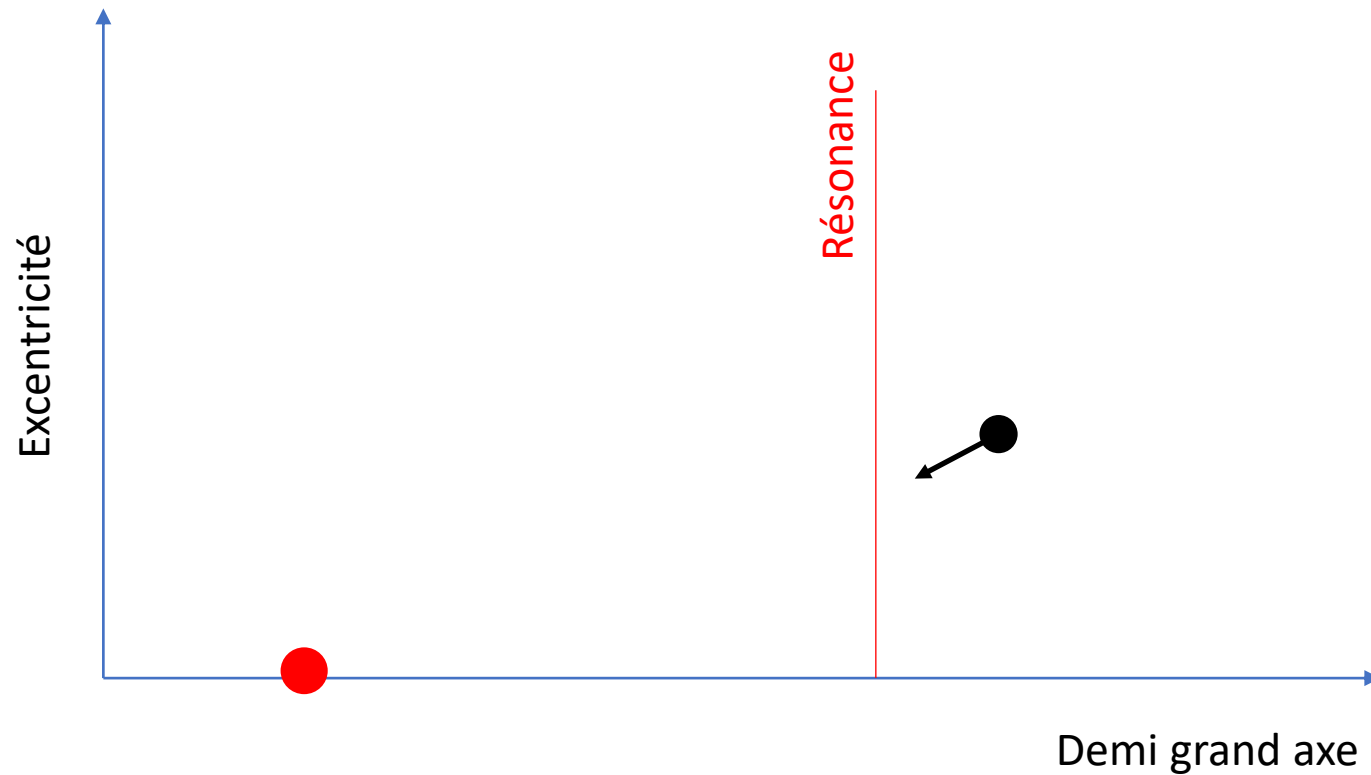
- Planète 1 (circulaire)
- Planète 2 (elliptique)

- Le mouvement radial positif de la planète est freiné (l'excentricité diminue)
- La vitesse azimutale est aussi freinée (le demi-grand axe diminue)



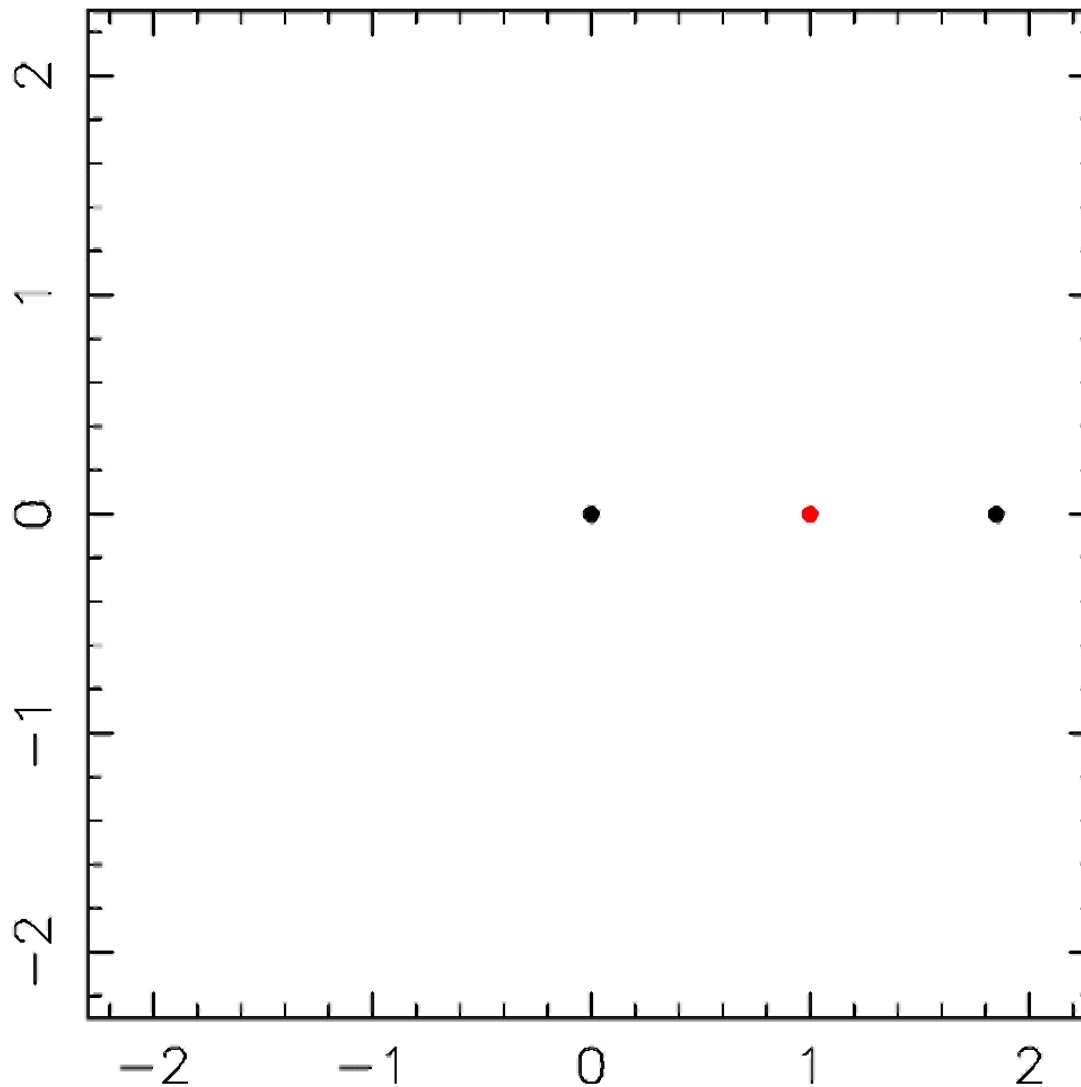
Changement par rapport à la résonance

- Planète 1 (circulaire)
- Planète 2 (elliptique)





Cas légèrement intérieur à la résonance (2:1)

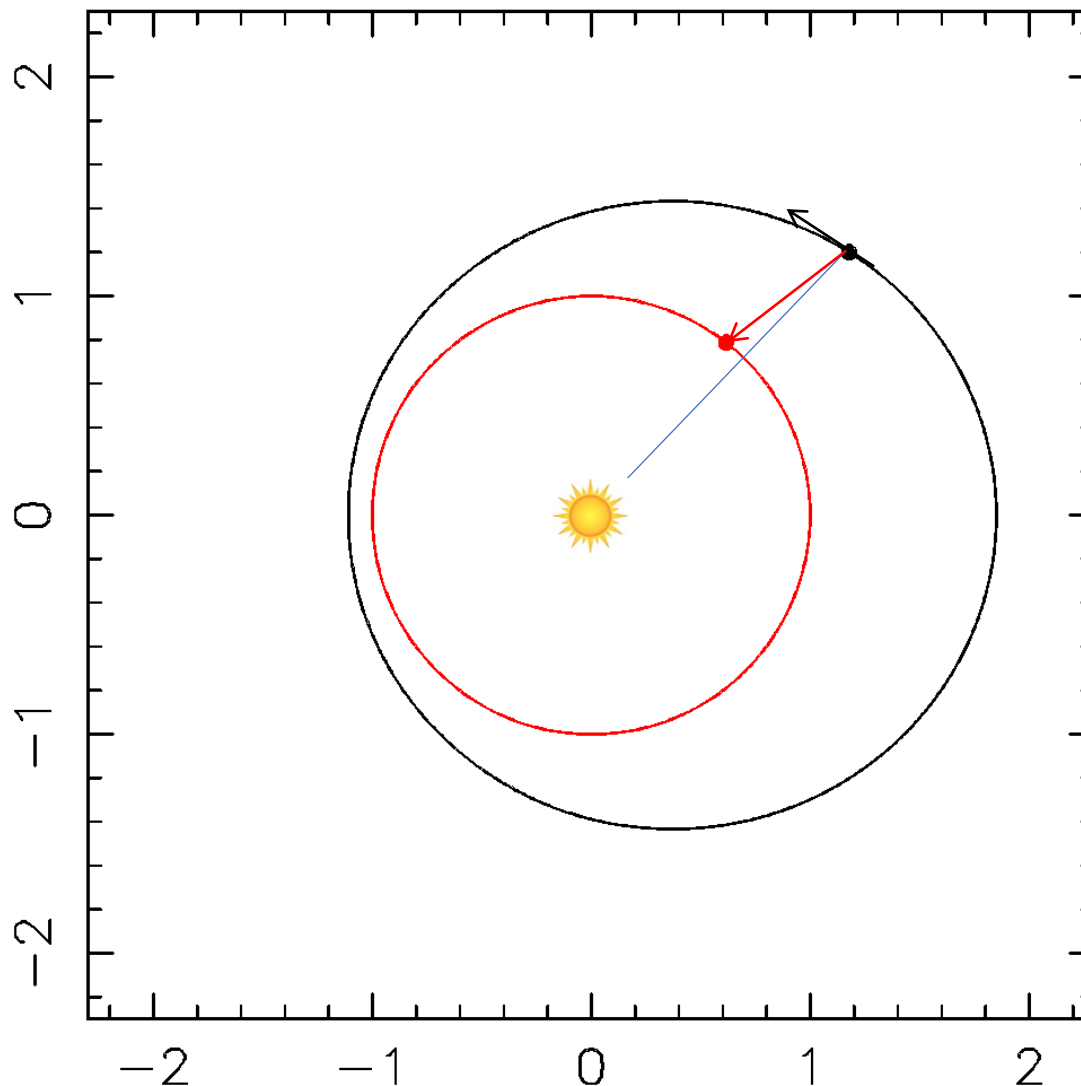


● Planète 1 (circulaire)

● Planète 2 (elliptique)



Configuration d'approche minimale



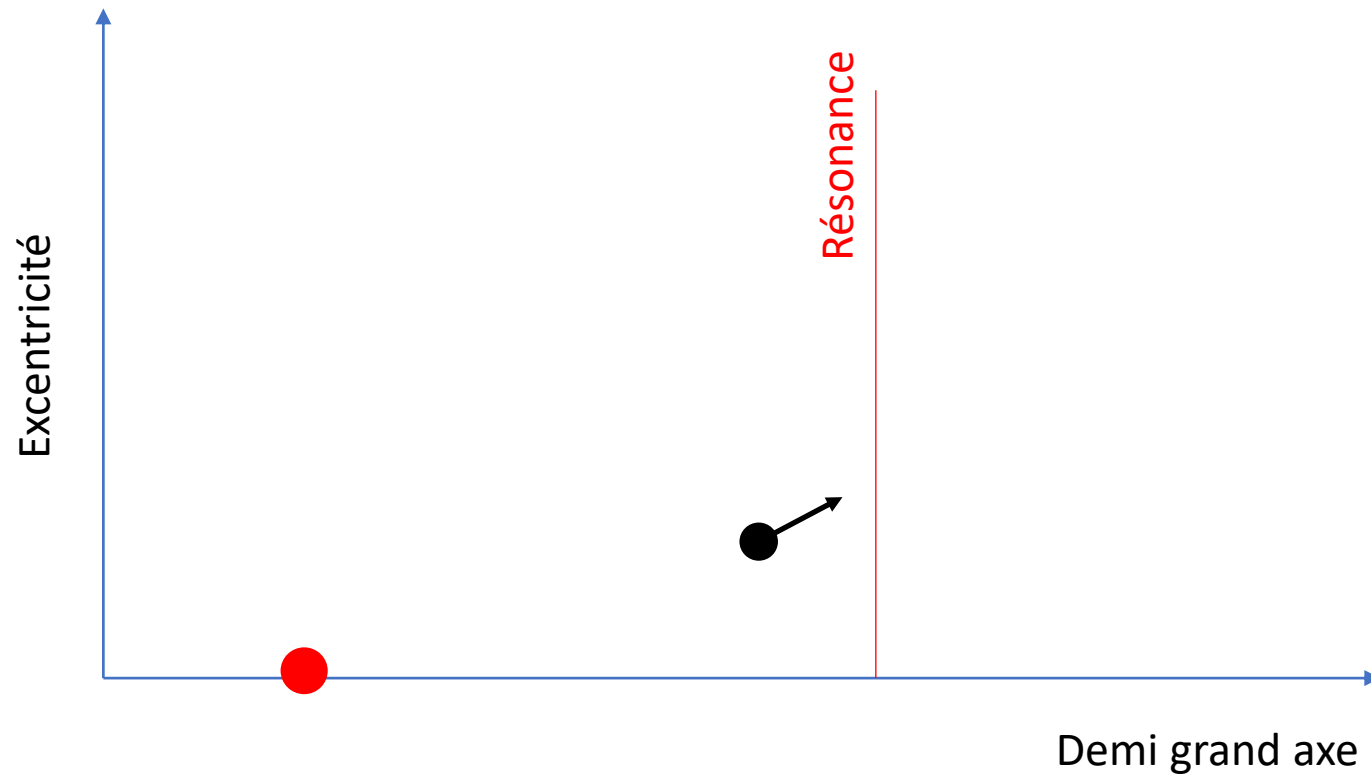
- Planète 1 (circulaire)
- Planète 2 (elliptique)

- Le mouvement radial négatif de la planète est accéléré (l'excentricité augmente)
- La vitesse azimutale est aussi accélérée (le demi-grand axe augmente)



Changement par rapport à la résonance

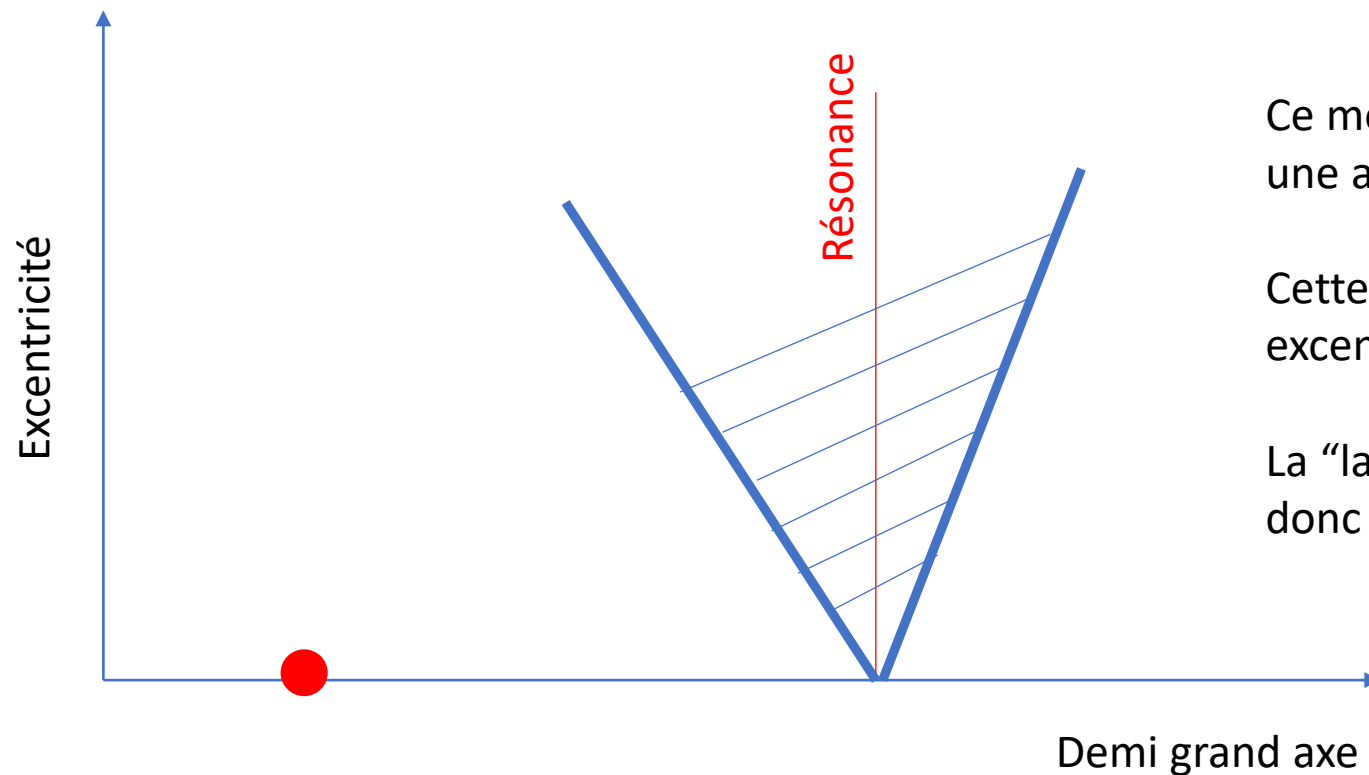
- Planète 1 (circulaire)
- Planète 2 (elliptique)





Mouvement oscillatoire autour de la résonance

● Planète 1 (circulaire)



Ce mouvement oscillatoire a une amplitude maximale finie.

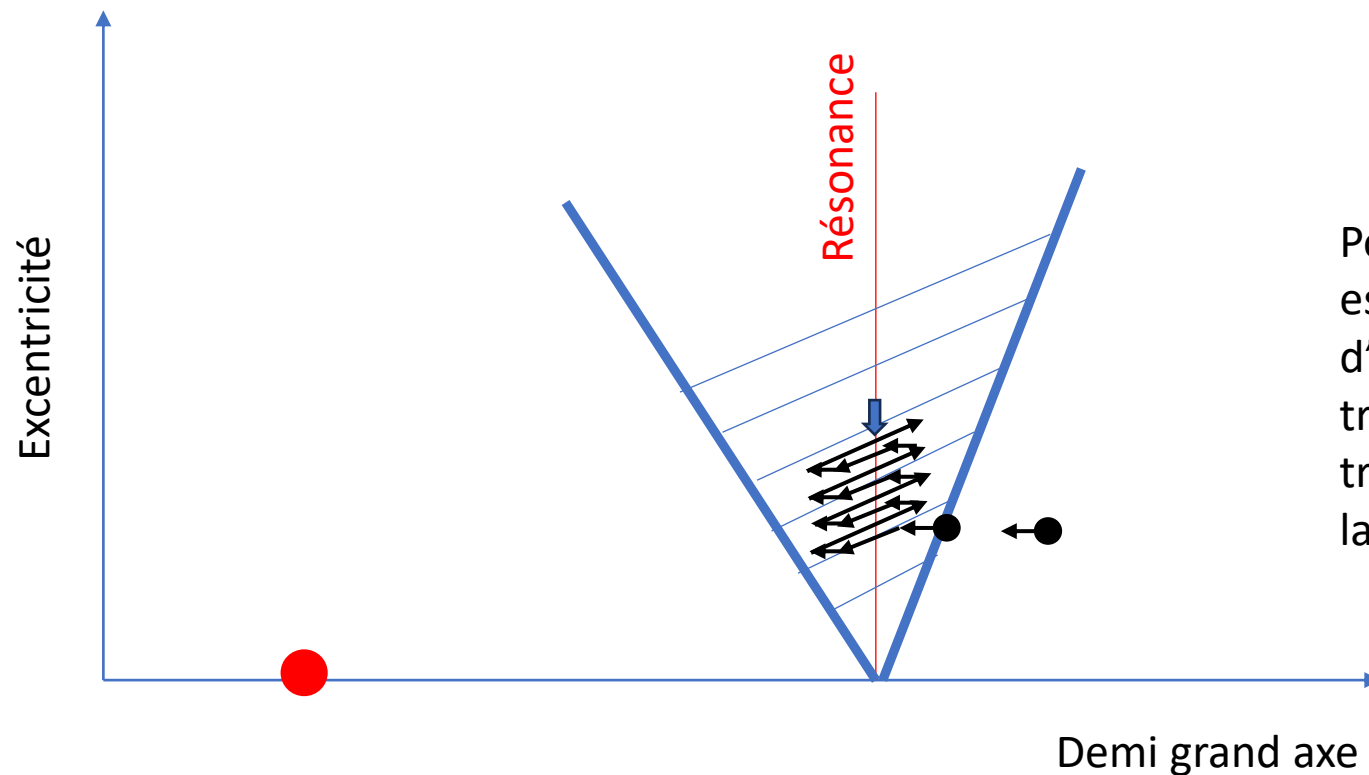
Cette amplitude est nulle à excentricité nulle

La "largeur" de la resonance a donc une forme de V



Migration convergente, capture en résonance et croissance de l'excentricité

- Planète (circulaire)
- Petit corps (elliptique)

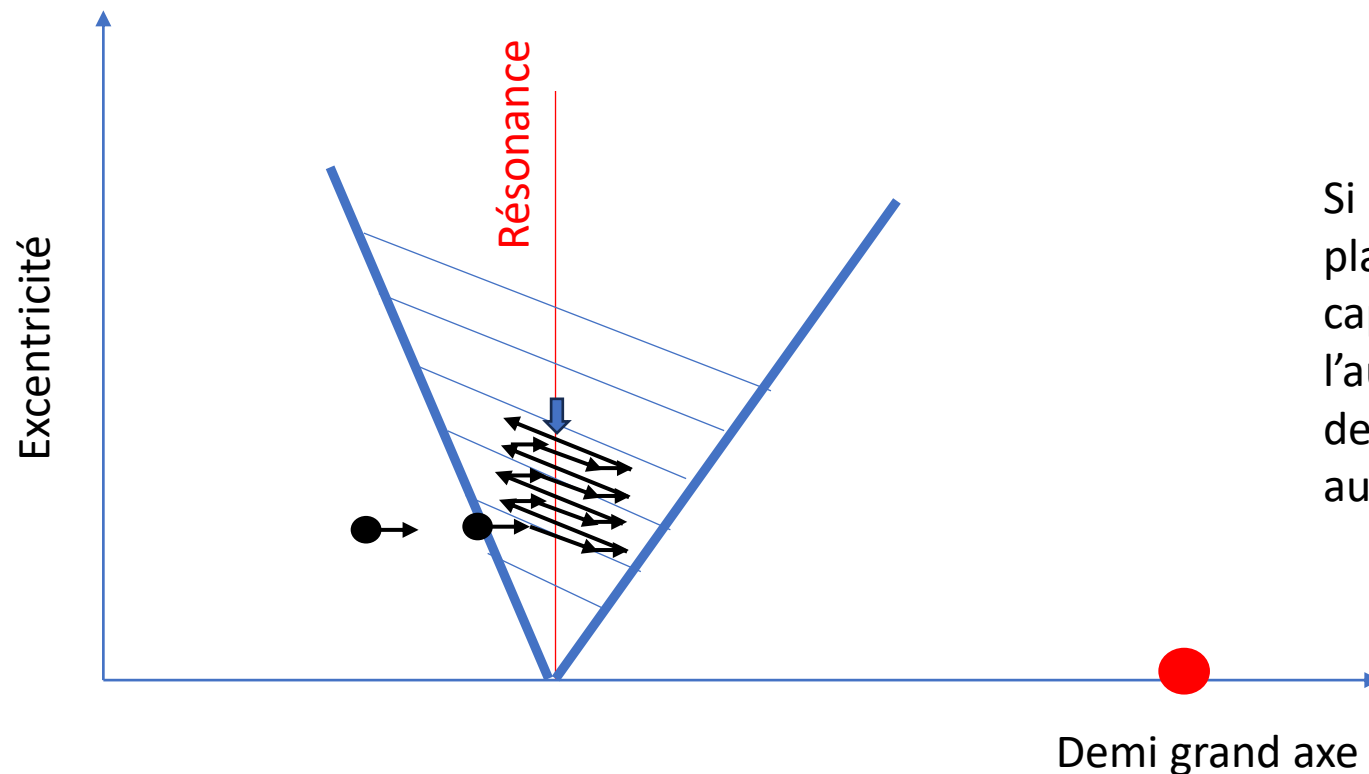


Pour la capture en résonance il est essentiel que la période d'oscillation résonnante soit très inférieure du temps de traversée de la résonance dû à la migration



Migration convergente, capture en résonance et croissance de l'excentricité

- Planète (circulaire)
- Petit corps (elliptique)

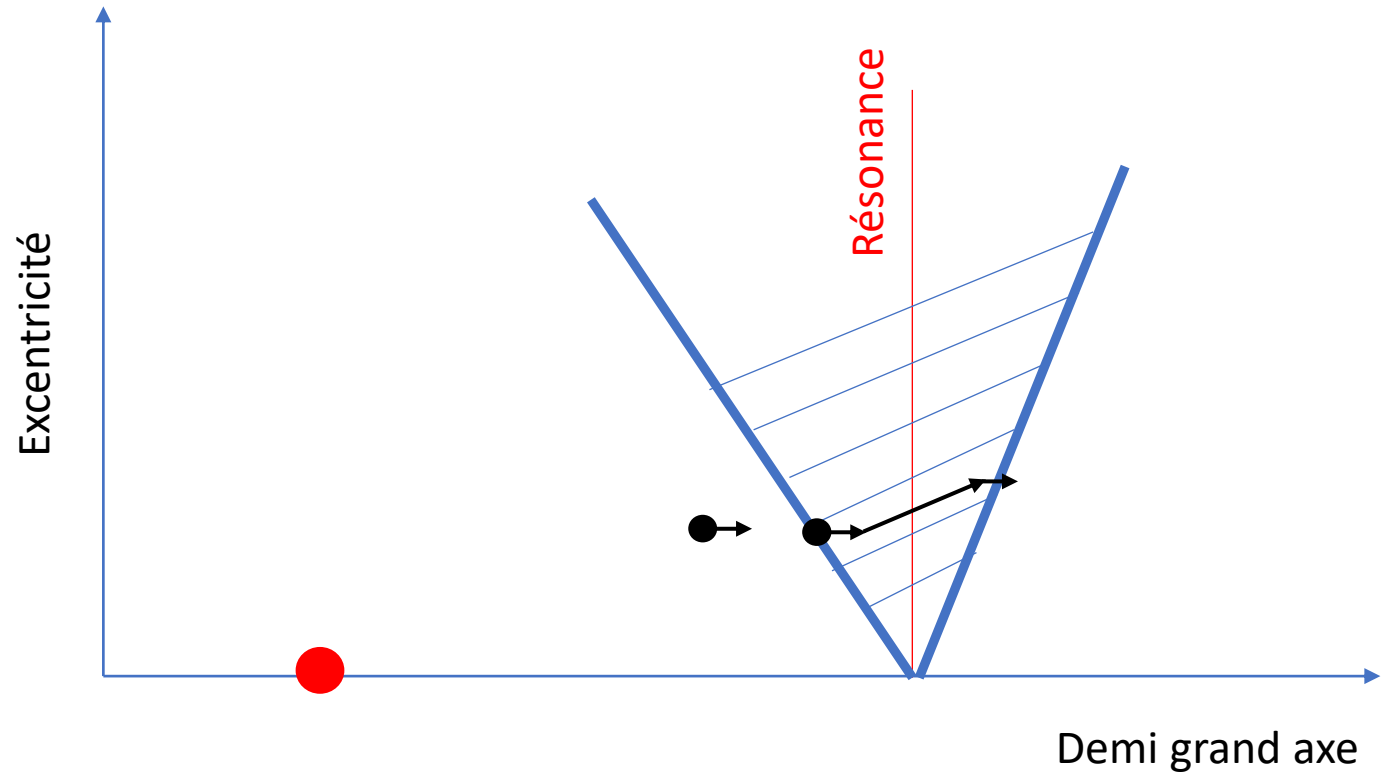


Si les deux objets sont deux planètes, chacune est capturée en résonance avec l'autre. Par conséquent, les deux excentricités vont augmenter de concert



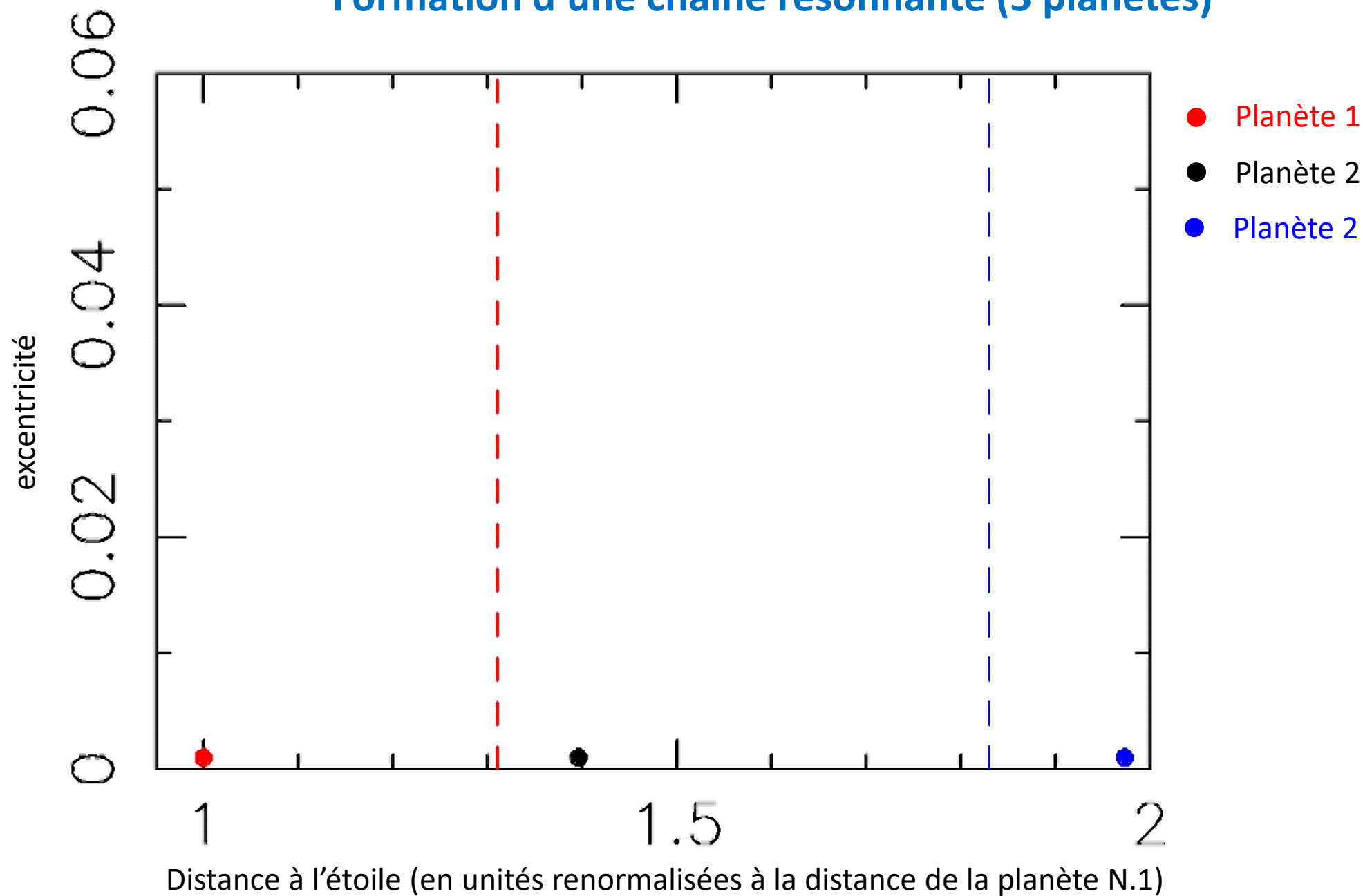
Migration divergente, pas de capture

- Planète (circulaire)
- Petit corps (elliptique)



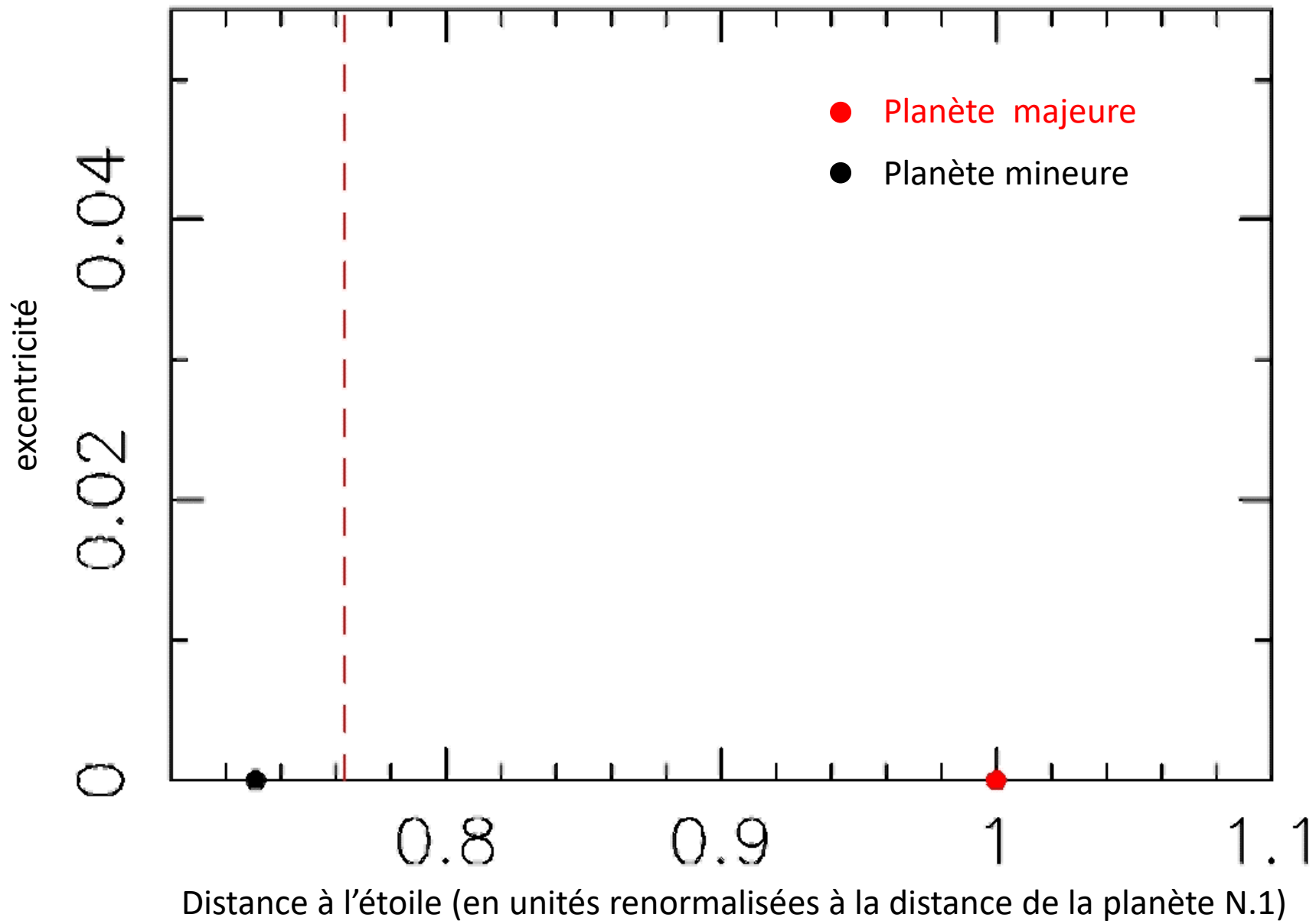


Formation d'une chaîne résonnante (3 planètes)





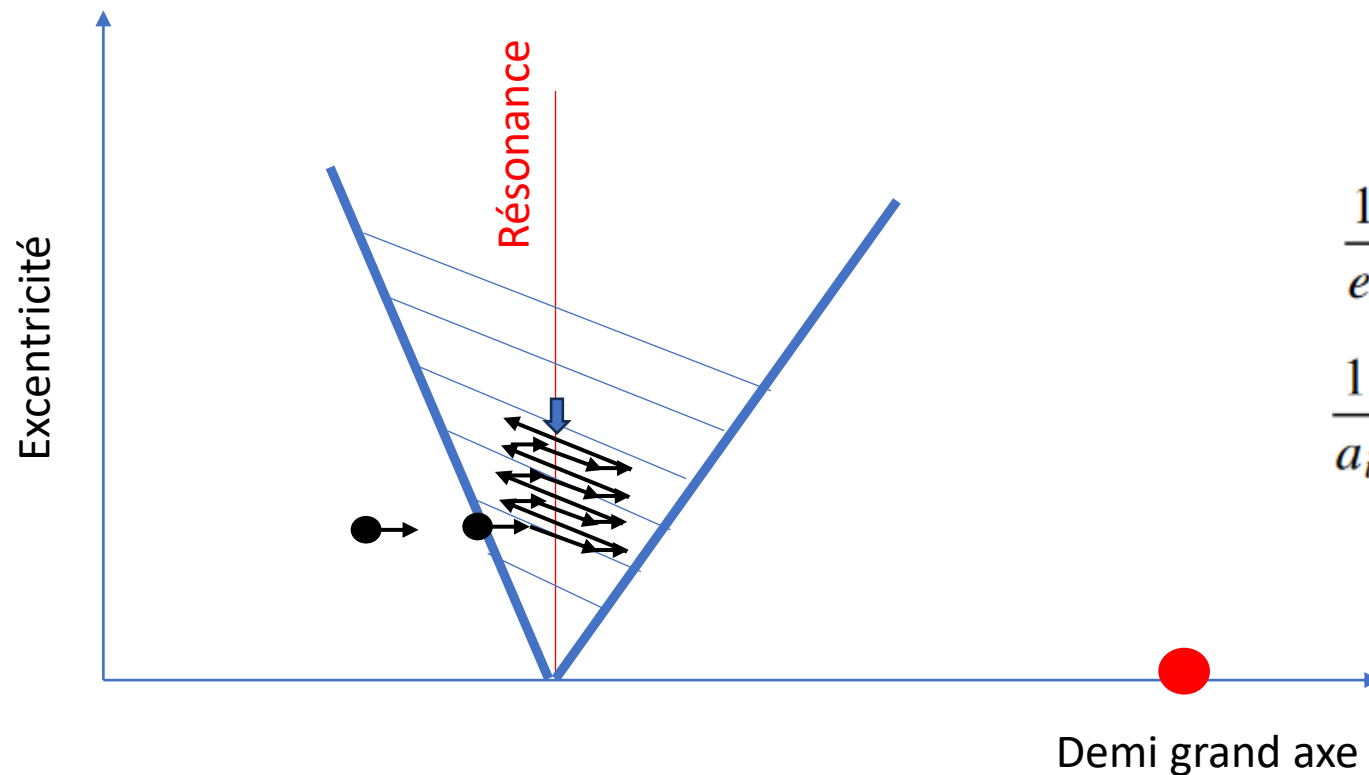
Instabilité après capture en résonance





Instabilité après capture en résonance

- Planète (circulaire)
- Petit corps (elliptique)

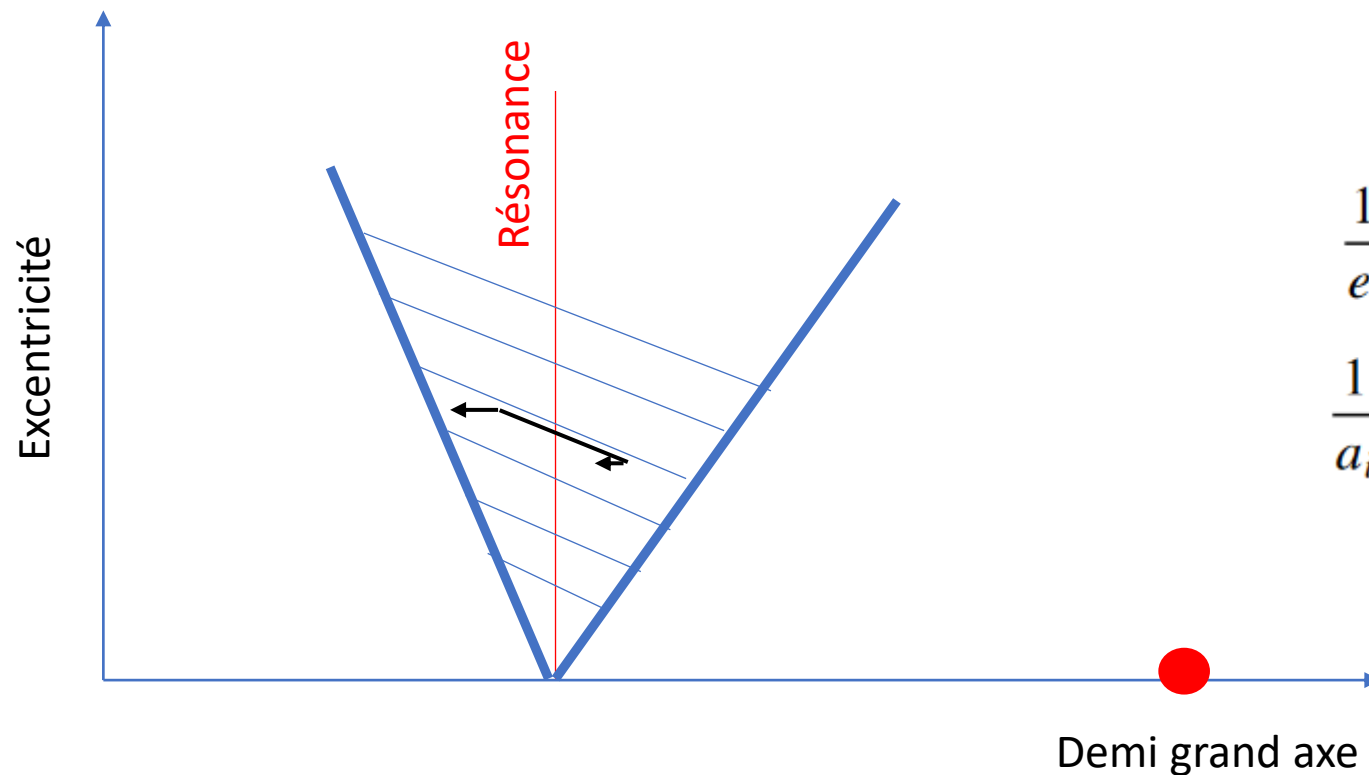


$$\frac{1}{e_i} \frac{de_i}{dt} = - \frac{1}{\tau_{e,i}}$$
$$\frac{1}{a_i} \frac{da_i}{dt} = \left(- \frac{2pe_i^2}{\tau_{e,i}} - \frac{1}{\tau_{a,i}} \right).$$



Instabilité après capture en résonance

- Planète (circulaire)
- Petit corps (elliptique)

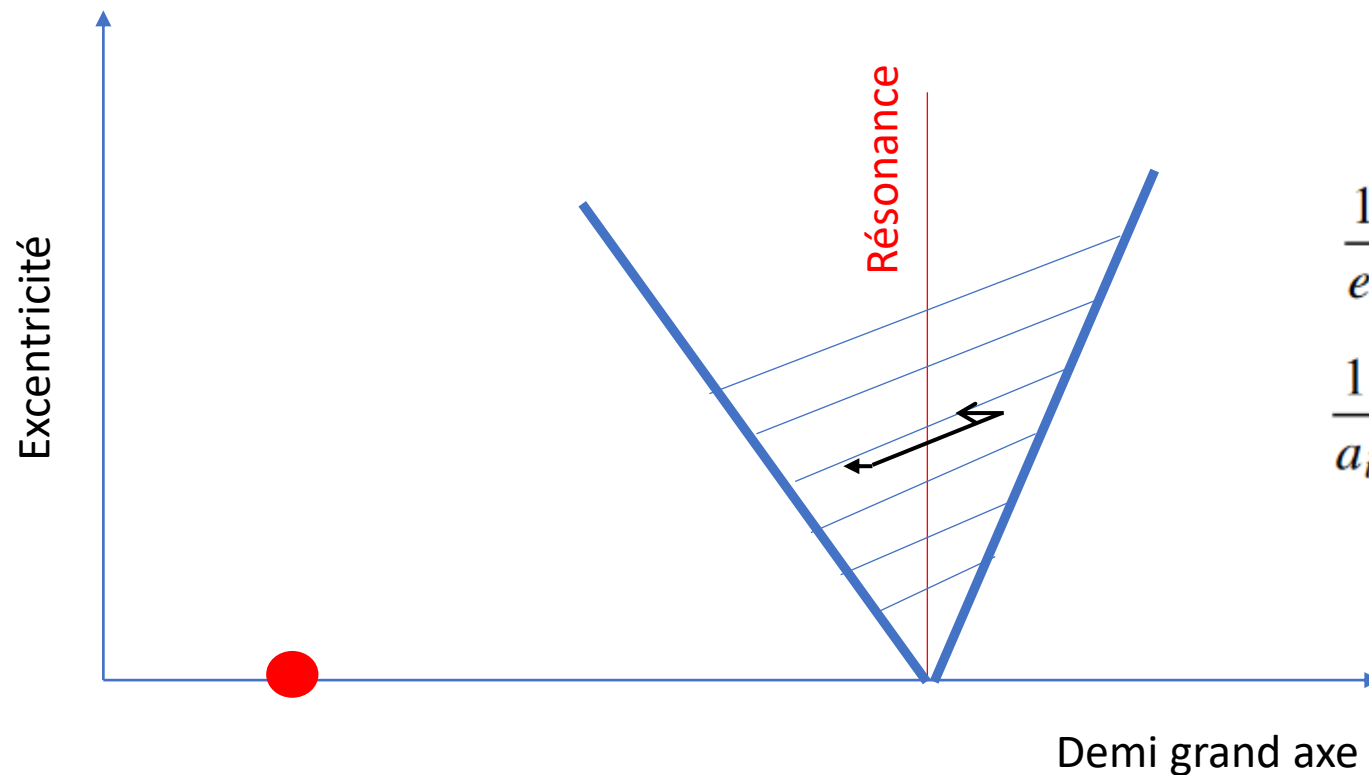


$$\frac{1}{e_i} \frac{de_i}{dt} = - \frac{1}{\tau_{e,i}}$$
$$\frac{1}{a_i} \frac{da_i}{dt} = \left(- \frac{2pe_i^2}{\tau_{e,i}} - \frac{1}{\tau_{a,i}} \right).$$



Instabilité après capture en résonance

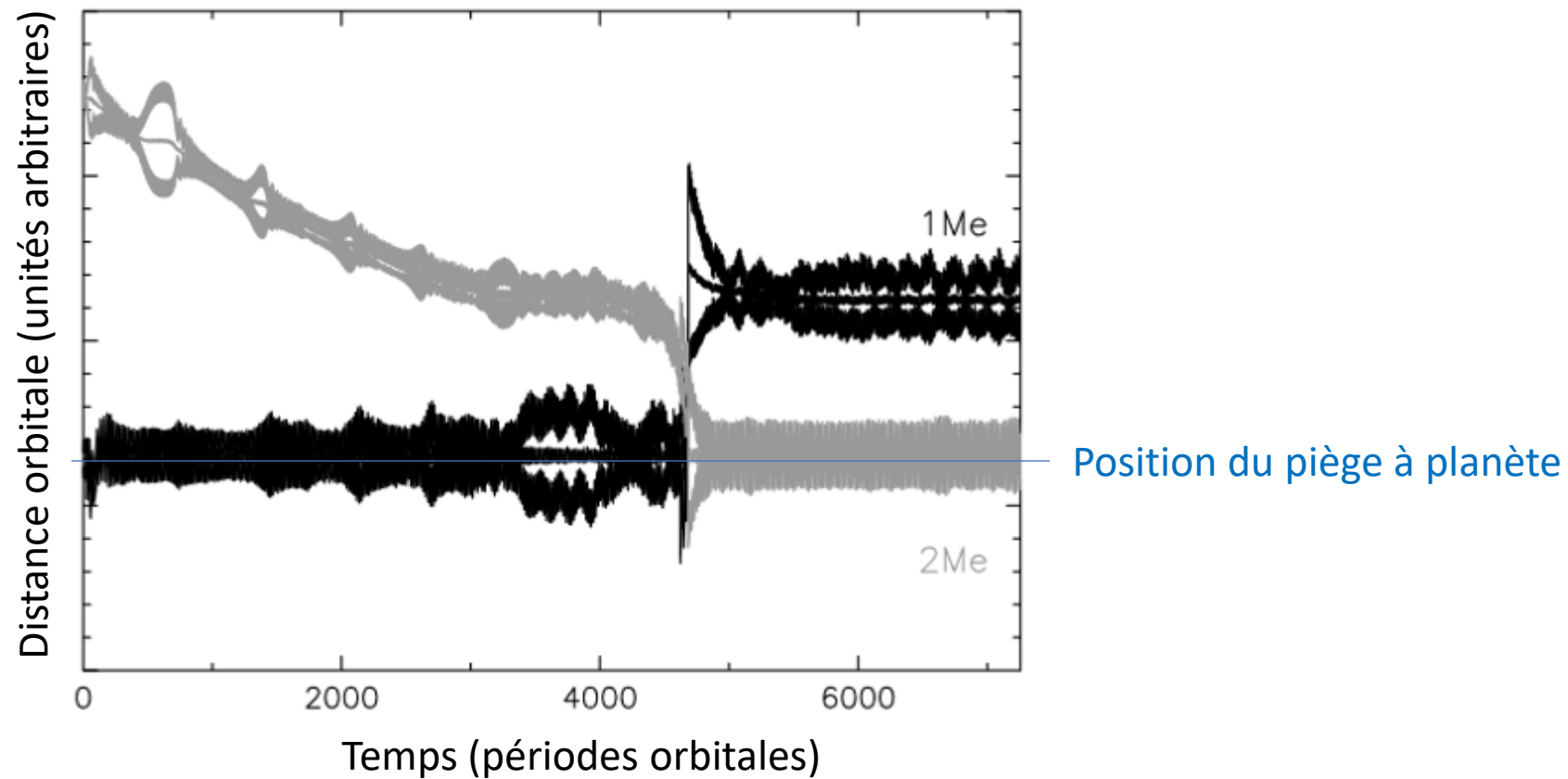
- Planète (circulaire)
- Petit corps (elliptique)



$$\frac{1}{e_i} \frac{de_i}{dt} = - \frac{1}{\tau_{e,i}}$$
$$\frac{1}{a_i} \frac{da_i}{dt} = \left(- \frac{2pe_i^2}{\tau_{e,i}} - \frac{1}{\tau_{a,i}} \right).$$

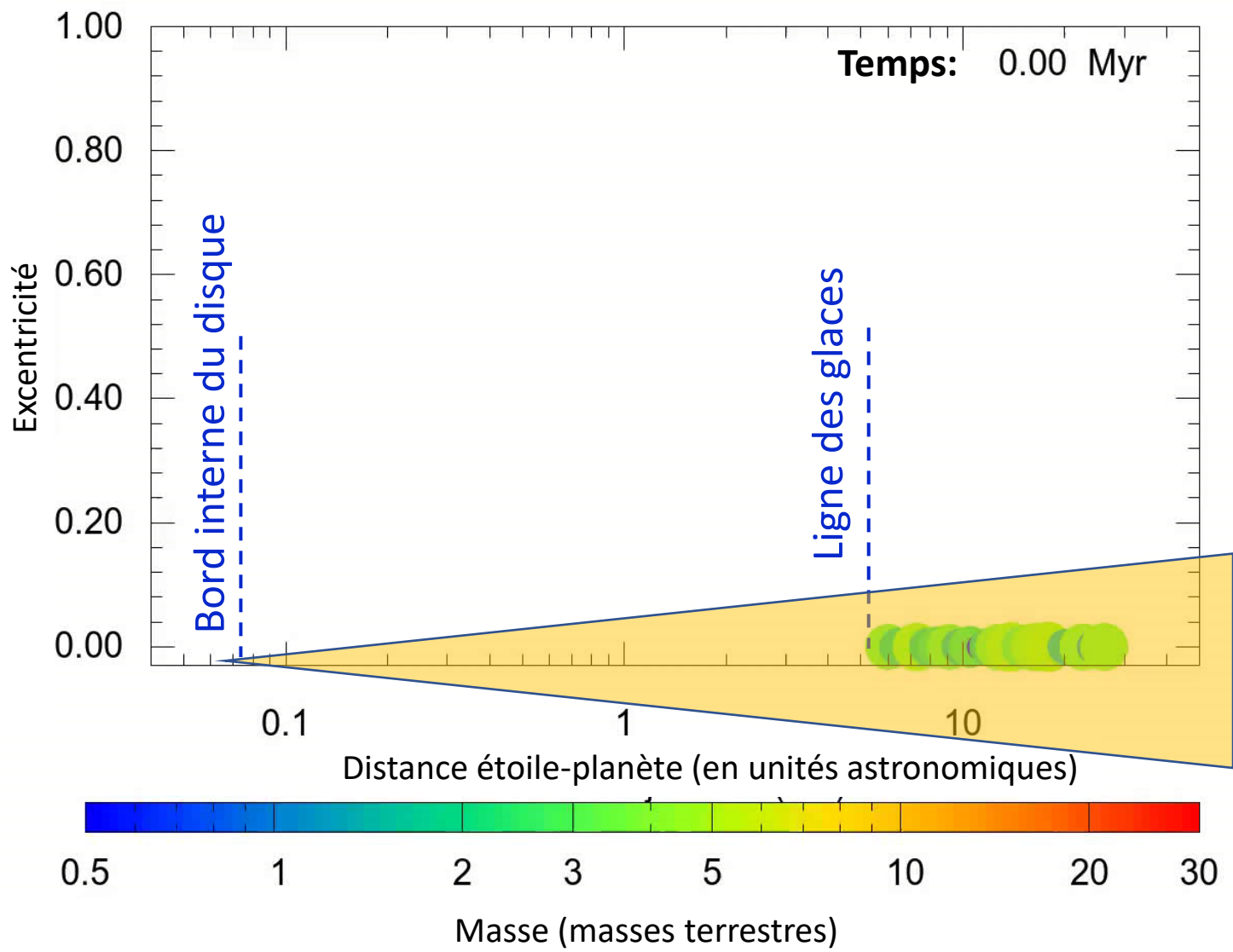


Echange de position sur un “piège à planètes”





Exemple de migration d'un système de Super-Terres

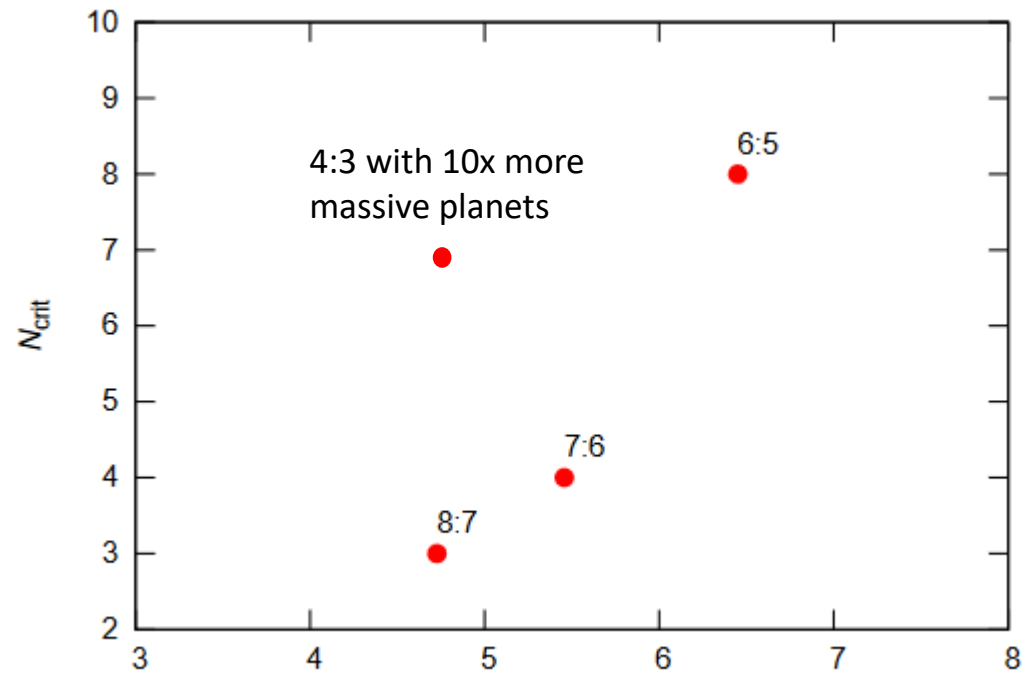
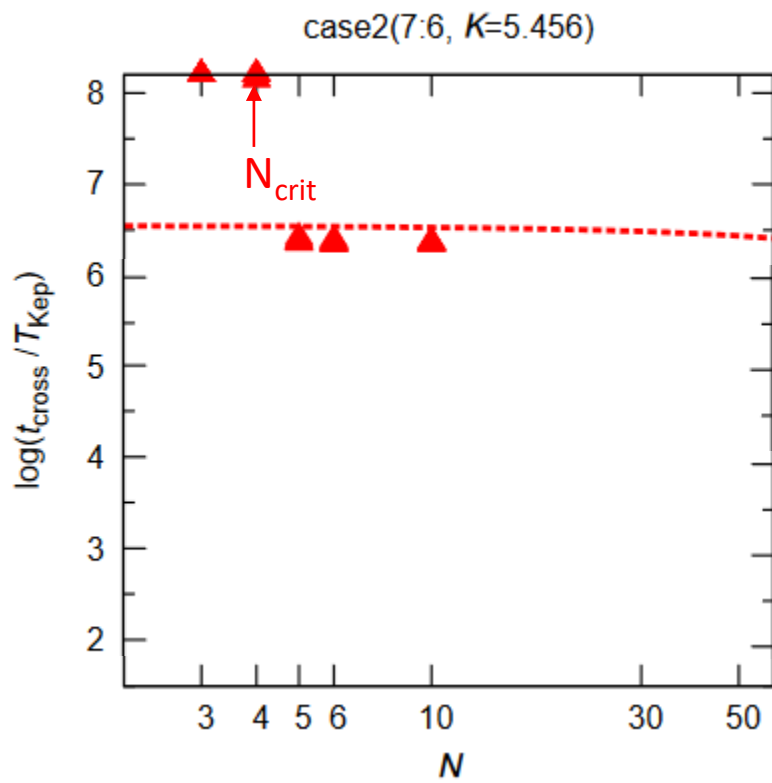




Instabilité dynamique des chaînes de résonances des super-Terres

Après la disparition du gaz, les chaînes de résonances trop “complexes” deviennent instables

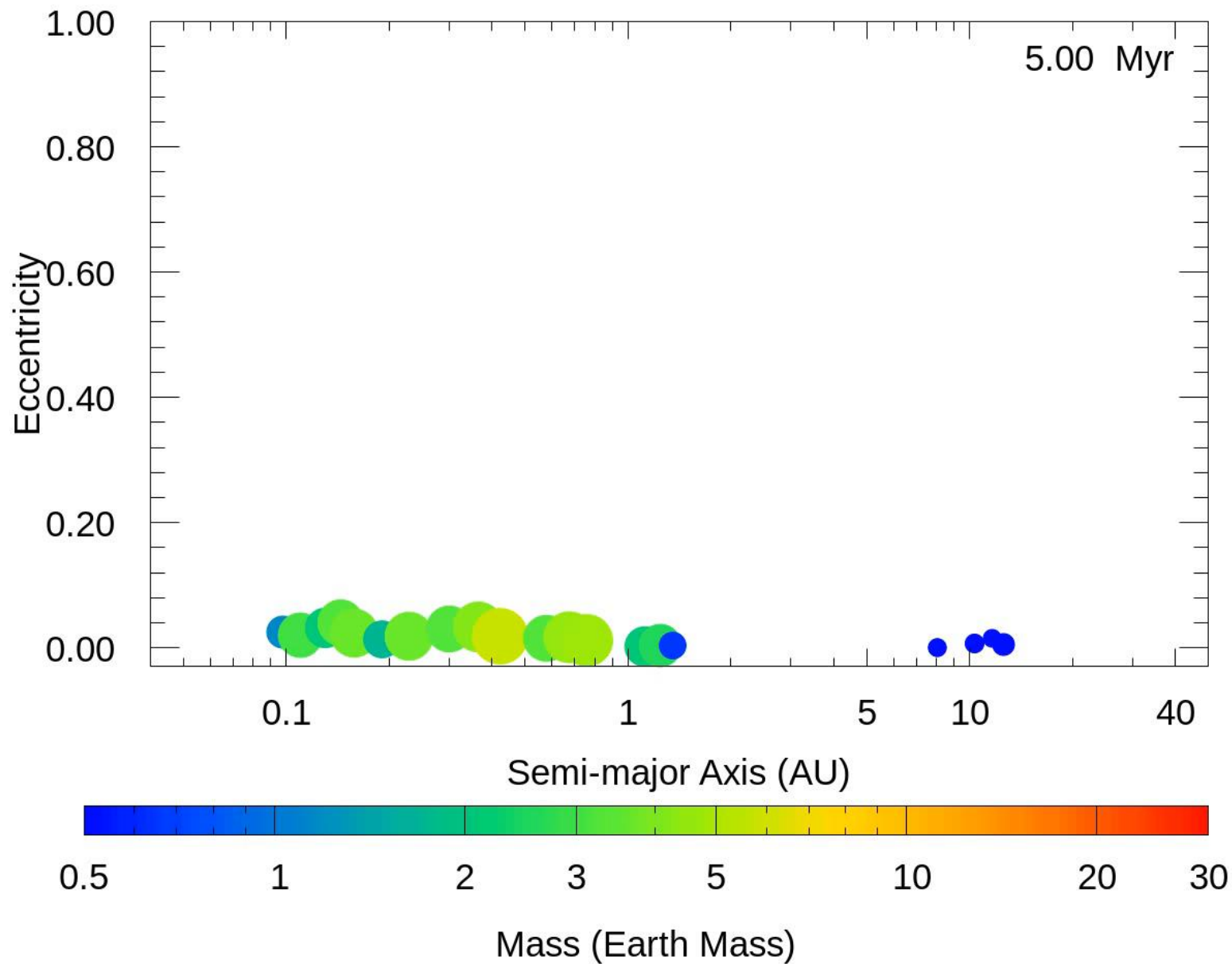
Matsumoto et al., 2012



Separation en rayons de Hill $\rightarrow K$

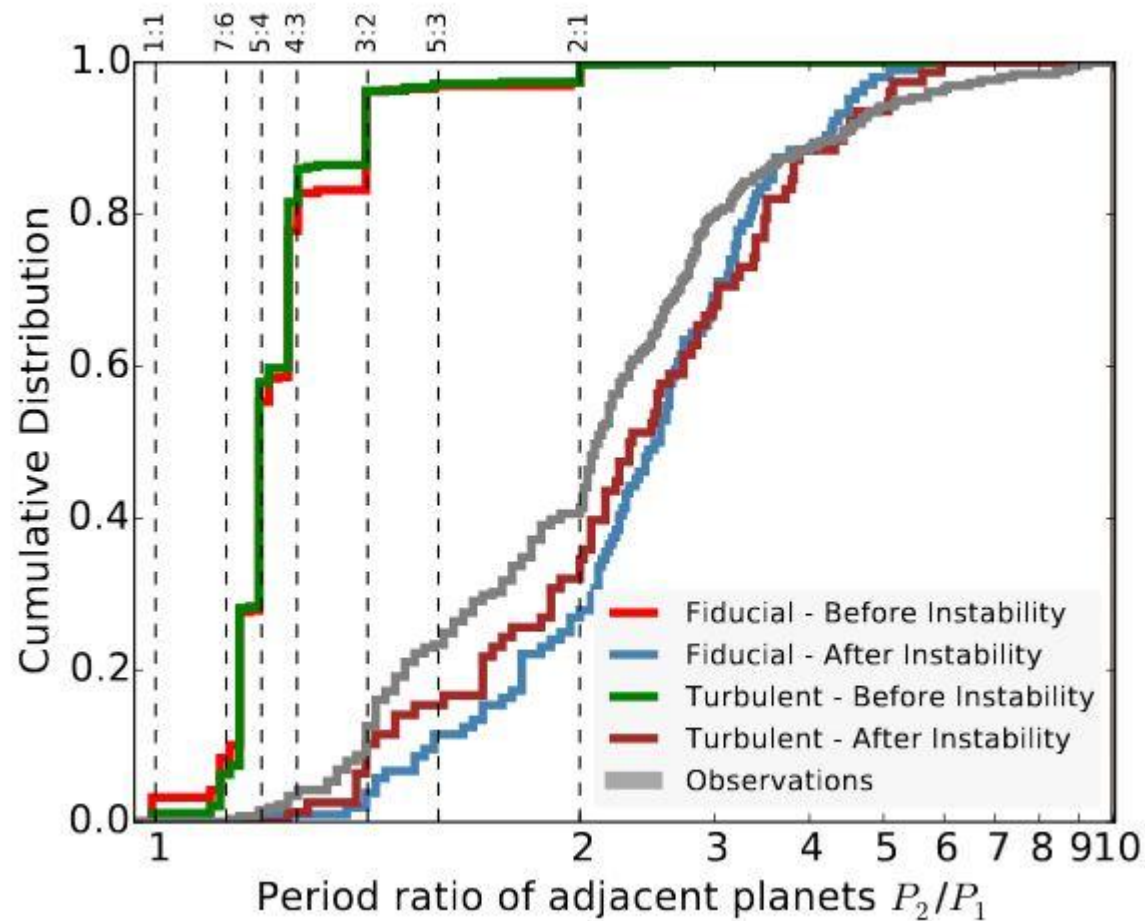


Exemple d'instabilité dynamique de super-Terres



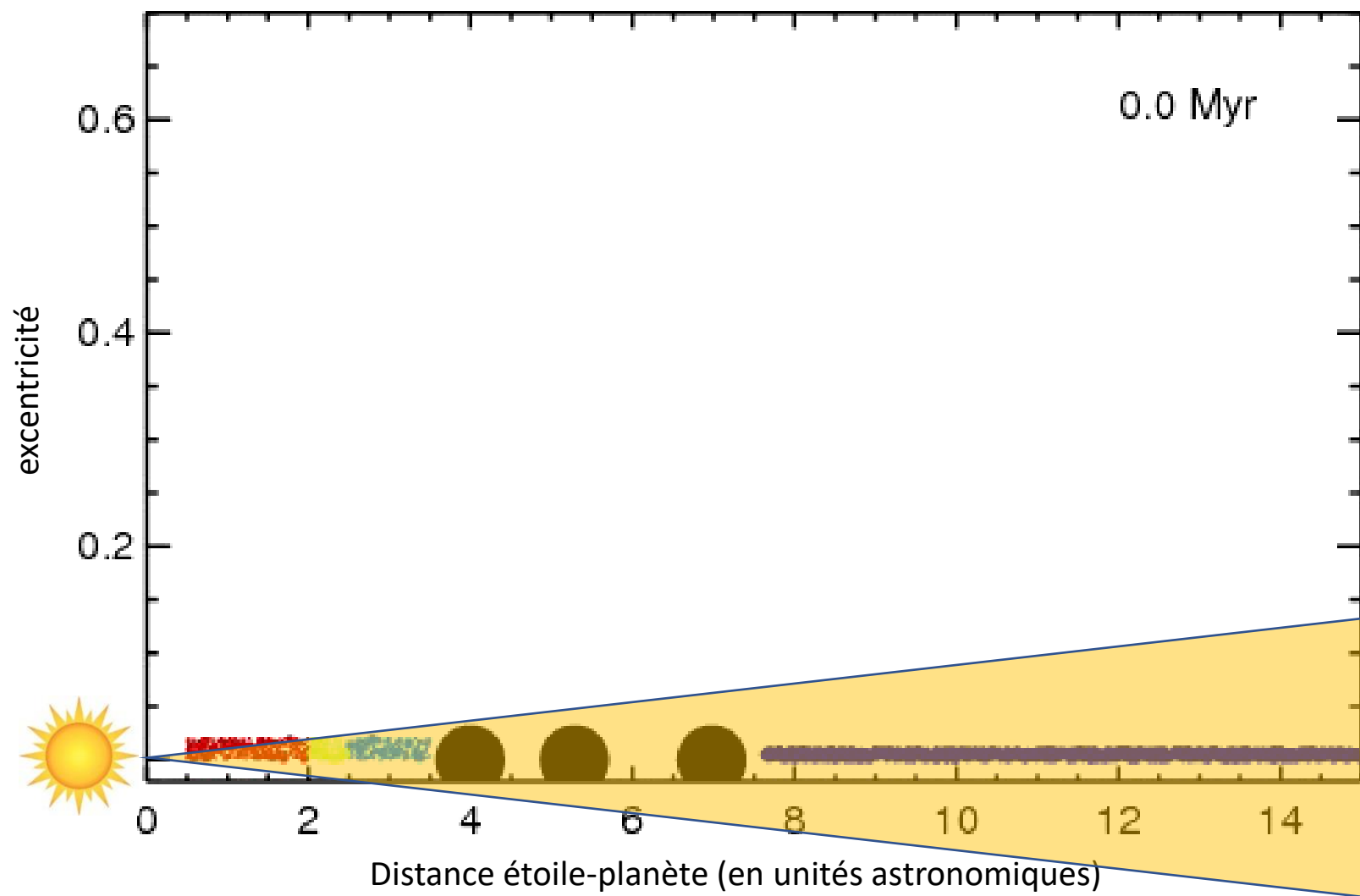


L'instabilité brise les relations résonnantes entre les périodes





Instabilité d'une chaînes résonnantes de planètes géantes





Description des résonances par une approche Hamiltonienne





A-B-C de mécanique Hamiltonienne

Un système dynamique est sous forme Hamiltonienne s'il existe une fonction $H(\mathbf{p}, \mathbf{q})$ qui permet d'écrire les équations du mouvement comme:

$$dp_i/dt = -\partial H/\partial q_i$$

$$dq_i/dt = \partial H/\partial p_i$$

Les q_i sont appelées *coordonnées* and les p_i *moments*

Si les q_i sont des *angles* (H périodique in q_i), les p_i sont appelés *actions*

La valeur de H est une invariante de la dynamique (constante de mouvement), car:

$$dH/dt = \sum_i \partial H/\partial q_i * dq_i/dt + \partial H/\partial p_i * dp_i/dt = 0$$



A-B-C de mécanique Hamiltonienne

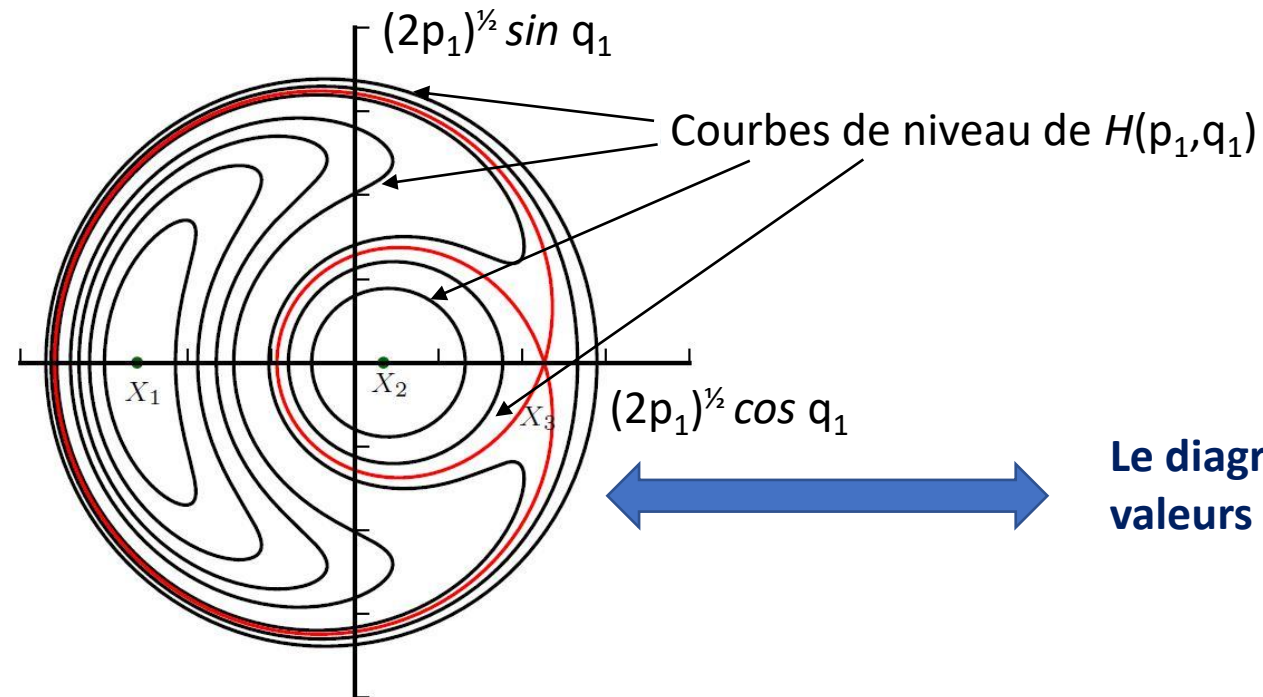
En général, un système dynamique avec un Hamiltonien générique $H(\mathbf{p}, \mathbf{q})$ est non-intégrable

Mais un système qui a pour Hamiltonien une fonction $H(\mathbf{p}, \mathbf{q}) = H(p_1, q_1, p_2, \dots, p_n)$ est intégrable. En effet:

$$dp_i/dt = -\partial H/\partial q_i = 0 \text{ i.e. } p_i = \text{constante pour } i=2, \dots, n$$

Le mouvement de p_1, q_1 est décrit par les courbes de niveau de $H(p_1, q_1, p_2, \dots, p_n)$, car H est constante de mouvement

Exemple:





A-B-C de mécanique Hamiltonienne

Pour résoudre des systèmes Hamiltoniens on cherche une transformation $(\mathbf{p}, \mathbf{q}) \rightarrow (\mathbf{p}', \mathbf{q}')$ par laquelle
 $H(\mathbf{p}(\mathbf{p}', \mathbf{q}'), \mathbf{q}(\mathbf{p}', \mathbf{q}')) = H(p'_1, \mathbf{q}'_1, p'_2, \dots, p'_n)$

Pas toutes les transformations sont admises! Seulement celles qui préservent les équations Hamiltoniennes

$$\begin{aligned} dp'_i/dt &= -\partial H/\partial q'_i \\ dq'_i/dt &= \partial H/\partial p'_i \end{aligned}$$

Ces transformations sont appelées *canoniques*

Exemple de transformation canonique:

$$\mathbf{q} = A \mathbf{q}' \quad \mathbf{p} = [A^{-1}]^T \mathbf{p}'$$

Souvent, il n'est pas possible par une transformation canonique de transformer l'Hamiltonien en une fonction dépendante d'un seul angle; alors, on cherche à transformer l'Hamiltonien dans la forme:

$$H(\mathbf{p}(\mathbf{p}', \mathbf{q}'), \mathbf{q}(\mathbf{p}', \mathbf{q}')) = H_{\text{app}}(p'_1, \mathbf{q}'_1, p'_2, \dots, p'_n) + \varepsilon H_{\text{rem}}(\mathbf{p}', \mathbf{q}') \quad \text{où } \varepsilon \text{ est un petit paramètre.}$$

C'est l'approche de la *théorie des perturbations*



L'Hamiltonienne d'un système planétaire

En utilisant comme coordonnées les positions **héliocentriques** \mathbf{r}_j et comme moments les quantités $\mathbf{v}_j = m_j \mathbf{u}_j$, où \mathbf{u}_j sont les vitesses **barycentriques**, les équations du mouvement ont pour Hamiltonien:

$$\mathcal{H} = \underbrace{\sum_{j=1}^N \frac{\|\mathbf{v}_j\|^2}{2\mu_j} - \frac{\mathcal{G}(M_* + m_j)\mu_j}{\|\mathbf{r}_j\|}}_{\text{Somme d'Hamiltoniens de problèmes à deux-corps non couplés (intégrables)}} + \underbrace{\sum_{j=1}^N \sum_{i=1}^{j-1} \left\{ \frac{\mathbf{v}_i \cdot \mathbf{v}_j}{M_*} - \mathcal{G} \frac{m_i m_j}{\|\Delta_{i,j}\|} \right\}}_{\text{Partie non-intégrable (perturbation)}}$$

Somme d'Hamiltoniens de problèmes à deux-corps non couplés (intégrables)

Partie non-intégrable (perturbation)

$$\mu_j = m_j M_* / (m_j + M_*)$$

On peut introduire des ellipse formelle, en partant les positions héliocentriques et vitesses barycentriques



Les variables canoniques de Delauney

Variables d'action-angle pour chaque planète

$$\Lambda = \mu \sqrt{\mathcal{G}(M_* + m)a} \qquad \lambda = l + \varpi$$

$$\Gamma = \Lambda (1 - \sqrt{1 - e^2}) \simeq \Lambda e^2 / 2 \qquad \gamma = -\varpi$$

$$Z = \Lambda \sqrt{1 - e^2} (1 - \cos i) \simeq \Lambda i^2 / 2 \qquad \zeta = -\Omega$$

$$\mu = \frac{mM_*}{m + M_*}$$



Structure de la perturbation

L'interaction entre chaque couple de planètes peut être développée en série de puissance de e and i et en série de Fourier de λ, ϖ, Ω :

$$\mathcal{H}_{1,2} = c(a_2/a_1) e_1^{k_1} e_2^{k_2} i_1^{l_1} i_2^{l_2} \cos(n_1 \lambda_1 + n_2 \lambda_2 + m_1 \varpi_1 + m_2 \varpi_2 + j_1 \Omega_1 + j_2 \Omega_2)$$

Les règles de D'Alembert

- | | | |
|---|--|---|
| 1 | $n_1 + n_2 + m_1 + m_2 + j_1 + j_2 = 0$ | Invariance par rotation |
| 2 | $l_1 + l_2$ doit être un nombre paire | Invariance par $i \rightarrow -i$ |
| 3 | $k_{1,2} - m_{1,2} $ doit être nul ou un nombre paire positif | Pas de singularité à $e = \sqrt{2\Gamma/\Lambda} = 0$ * |
| 4 | $l_{1,2} - j_{1,2} $ doit être nul ou un nombre paire positif | Pas de singularité à $i = \sqrt{2Z/\Lambda} = 0$ * |

* En les variables canoniques $p = \sqrt{2\Gamma} \cos \varpi, q = \sqrt{2\Gamma} \sin \varpi, x = \sqrt{2Z} \cos \Omega, y = \sqrt{2Z} \sin \Omega$
 $\mathcal{H}_{1,2}$ doit avoir une expression polynomiale



Structure de la perturbation

Simplifications:

$$\mathcal{H}_{1,2} = c(a_2/a_1)e_1^{k_1}e_2^{k_2} \times \times \cos(n_1\lambda_1 + n_2\lambda_2 + m_1\varpi_1 + m_2\varpi_2 + j \times \times + j \times \times)$$

Problème plan: $i_1 = i_2 = 0$

Proximité à la résonance $k : k - 1$

$$\mathcal{H}_{1,2} = c(a_2/a_1)e_1^{k_1}e_2^{k_2} \cos(n(\lambda_2) + m(k\lambda_2 - (k-1)\lambda_1) + m_1\varpi_1 + m_2\varpi_2)$$

$$\frac{d}{dt}(k\lambda_2 - (k-1)\lambda_1) \sim 0 ; \quad \frac{d}{dt}(\lambda_1 - \lambda_2) = 2\pi \left(\frac{1}{P_1} - \frac{1}{P_2} \right) \text{ est un angle rapide}$$

Par moyennisation

Pour la 1ère règle de D'Alembert: $m + m_1 + m_2 = 0$

$$\mathcal{H}_{1,2} = c(a_2/a_1)e_1^{k_1}e_2^{k_2} \cos[m(k\lambda_2 - (k-1)\lambda_1 - \varpi_1) + n(\varpi_1 - \varpi_2)]$$



Structure de la perturbation au voisinage d'une résonance

$$\mathcal{H}_{1,2} = c(a_2/a_1)e_1^{k_1}e_2^{k_2} \cos[m(\psi_1) + n(\delta\gamma_{1,2})]$$

Transformation canonique pour mettre en évidence l'angle résonnant

$\Delta\lambda_{1,2} = k\Lambda_1 + (k-1)\Lambda_2,$	$\delta\lambda_{1,2} = \lambda_1 - \lambda_2,$	$\Delta\lambda_{1,2}$	$\delta\lambda_{1,2}$
$\Theta = \Lambda_1 + \Lambda_2,$	$\theta = k\lambda_2 - (k-1)\lambda_1$	$\Psi_1 = \Theta,$	$\psi_1 = \theta + \gamma_1,$
Γ_1	$\gamma_1 = -\varpi_1$	$\Psi_2 = -\Theta + \Gamma_1,$	$\delta\gamma_{1,2} = \gamma_1 - \gamma_2,$
Γ_2	$\gamma_2 = -\varpi_2$	$\mathcal{L} = \Theta - (\Gamma_1 + \Gamma_2),$	$\gamma_2' = -\gamma_2,$
		$= (\Lambda_1 - \Gamma_1) + (\Lambda_2 - \Gamma_2)$	
		(moment cinétique du système)	

Constantes du mouvement

2 degrés de liberté



Harmoniques permises par les règles de D'Alembert

A l'ordre 1 en excentricité:

$$e_1 \cos(\psi_1), \quad e_2 \cos(\psi_2 - \delta\gamma_{1,2}) \rightarrow \cos(\psi'_1)$$

Sessin et Ferraz-Mello, 1984
Henrard et al., 1986
Wisdom, 1986
Batygin et Morbidelli, 2013

A l'ordre 2 en excentricité:

$$e_1^2 \cos(2\psi_1), \quad e_1 e_2 \cos(\psi_1 - \delta\gamma_{1,2}), \quad e_1 e_2 \cos(\psi_2 - \delta\gamma_{1,2}), \quad e_2^2 \cos[2(\psi_2 - \delta\gamma_{1,2})]$$

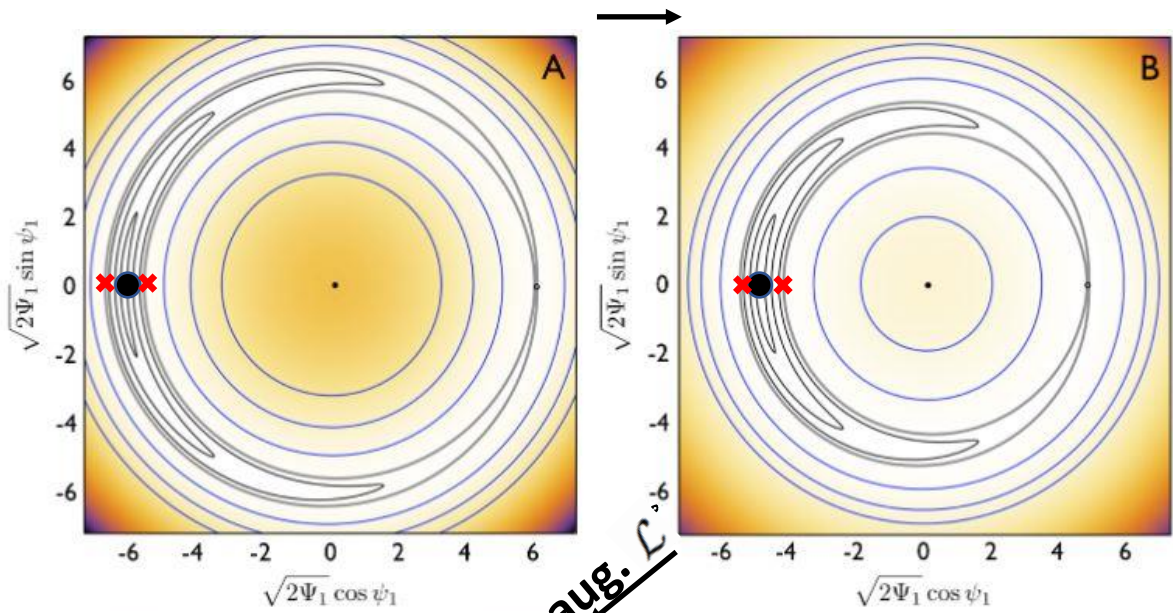
Etcétera....

2 possibles approximations intégrables:

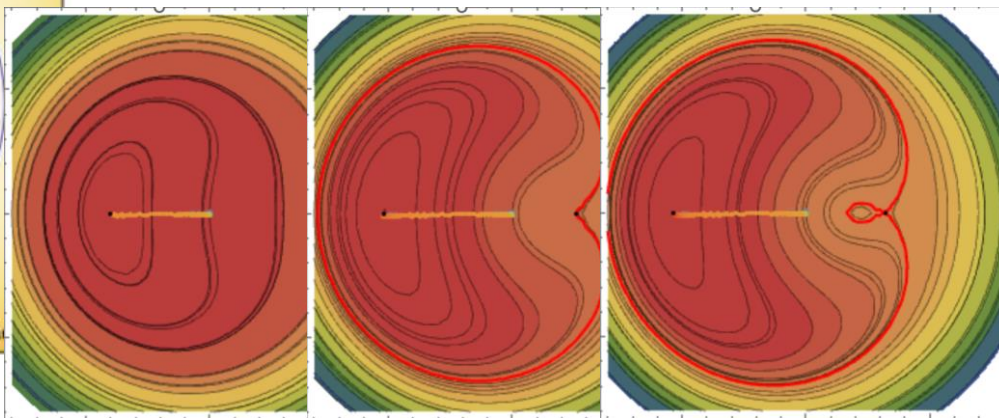
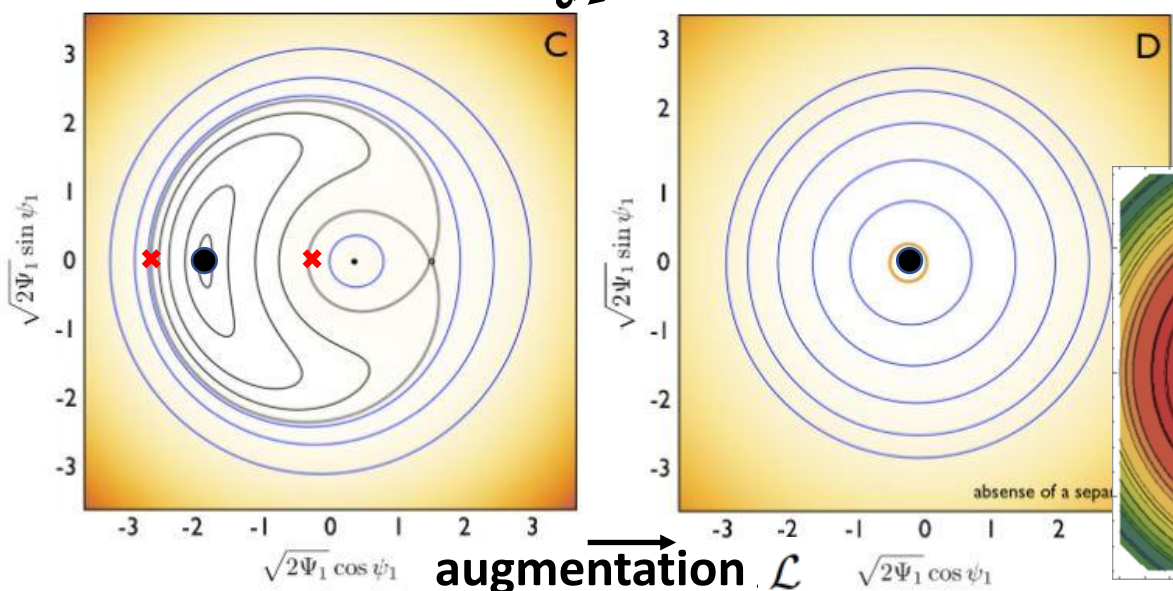
- on ne garde que l'ordre en excentricité (approximation des petites excentricités)
- on suppose $m_2 \gg m_1$ et $e_2 = 0$



Diagrammes de phase de $H_{1,2}$ d'un résonance $k:k-1$ (approx. intégrable) augmentation \mathcal{L}

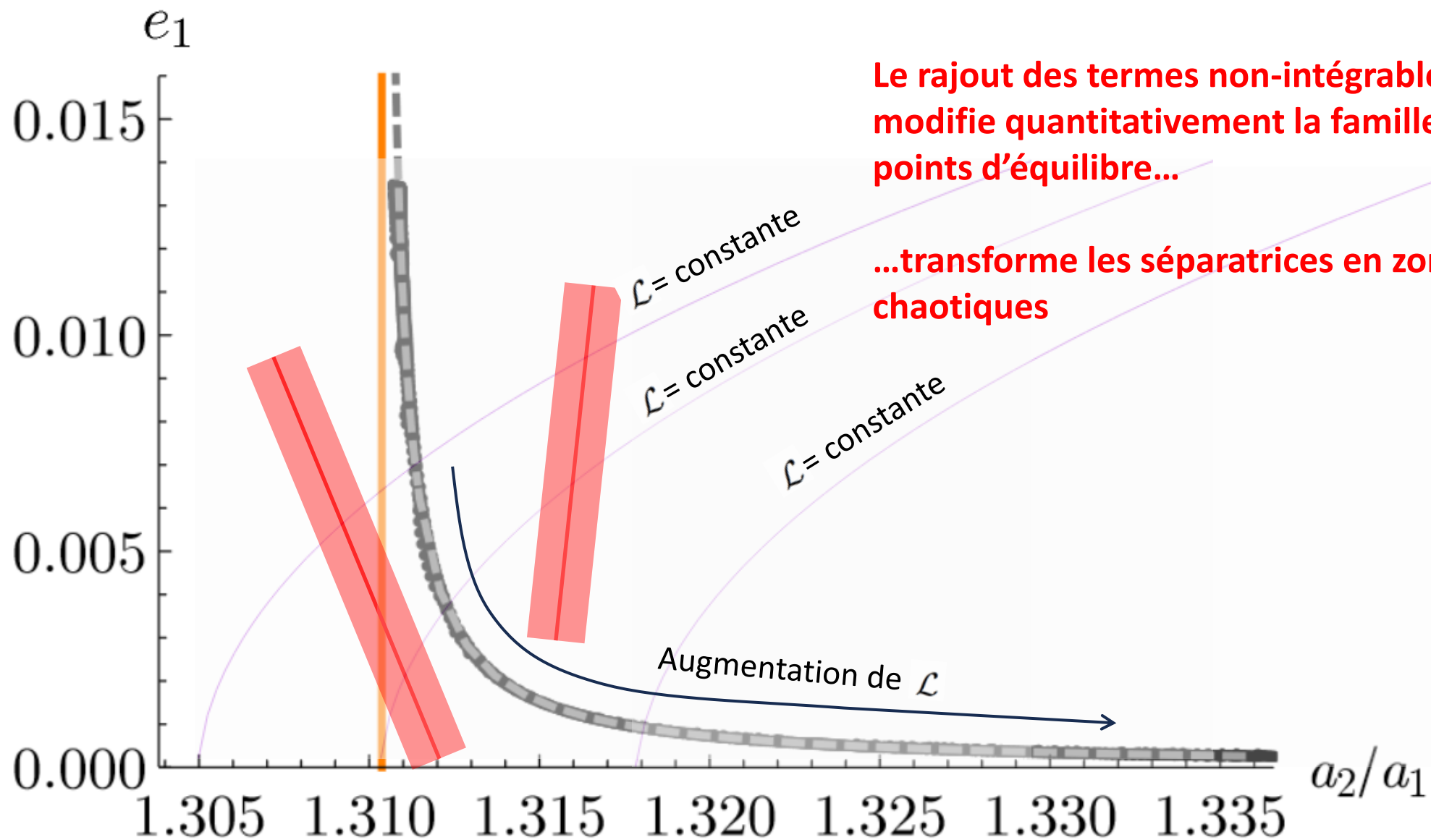


$$\Delta\lambda_{1,2} = \text{constante}$$





Conversion des points d'équilibre et des sections de séparatrice en diagramme (a,e)



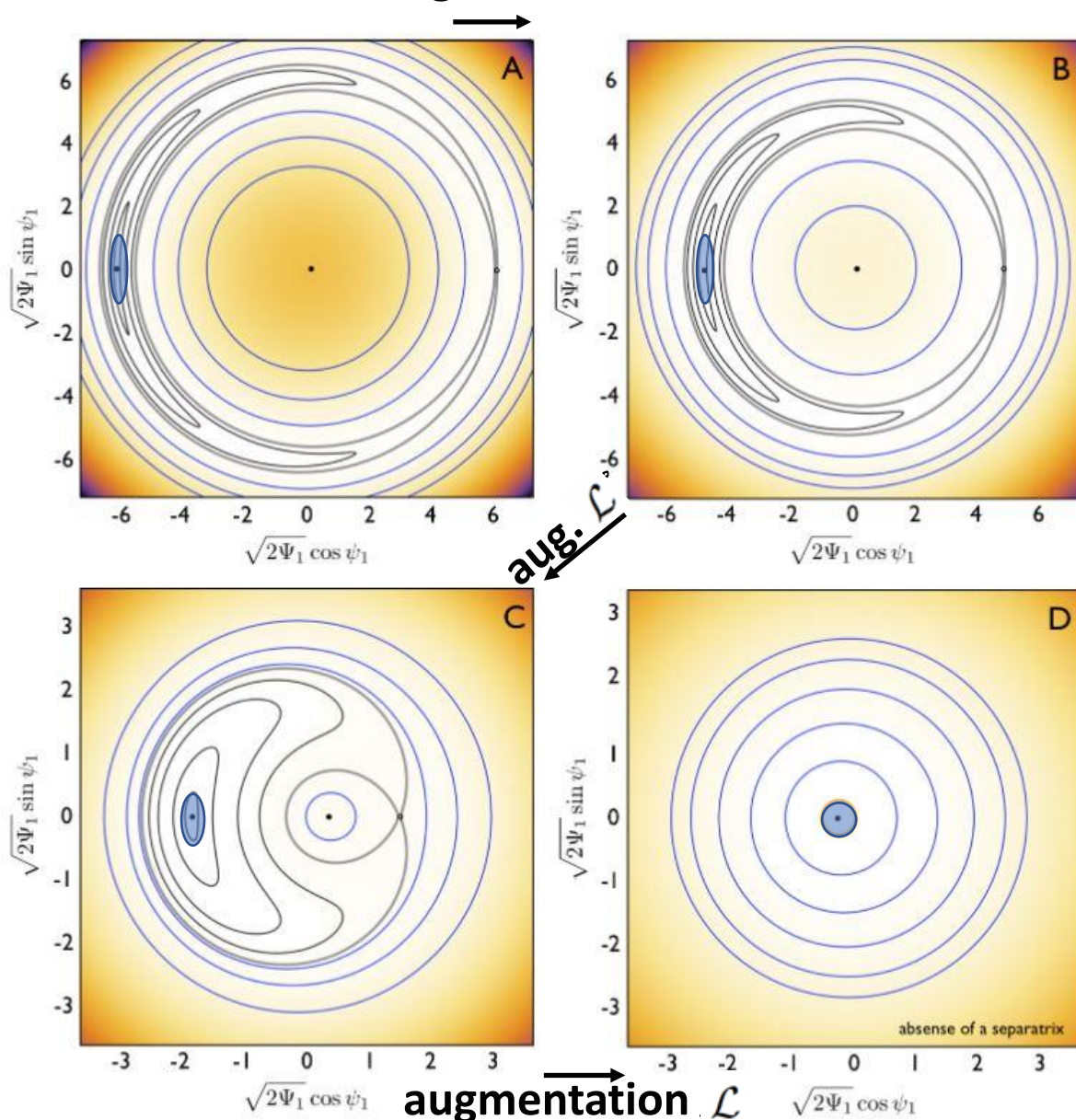
Le rajout des termes non-intégrables modifie quantitativement la famille de points d'équilibre...

...transforme les séparatrices en zones chaotiques



Migration et capture en résonance k:k-1

augmentation \mathcal{L}



En absence de migration, \mathcal{L} est une constante
La migration change \mathcal{L}
Migration convergente = décroissance de \mathcal{L}

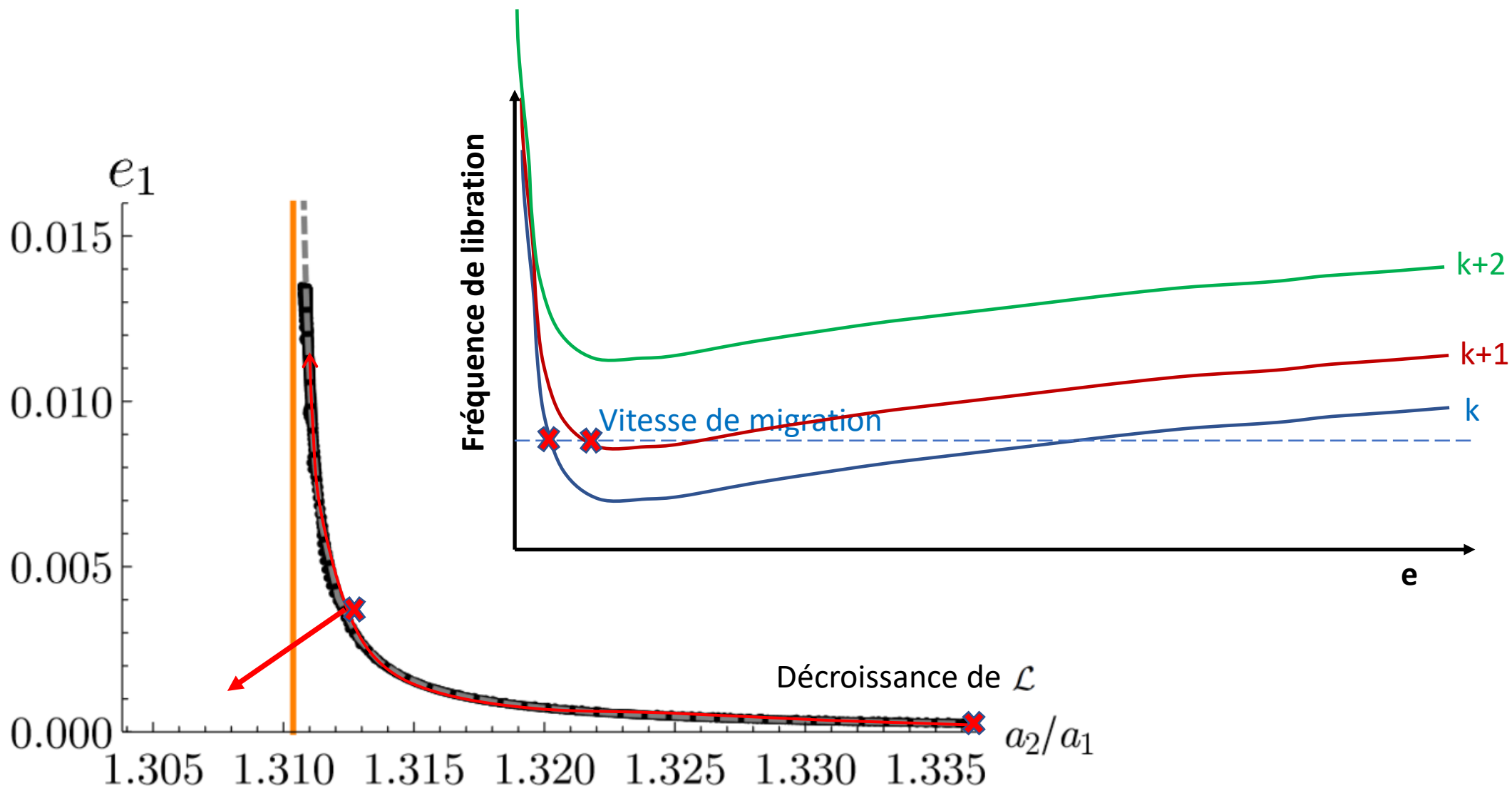
Principe adiabatique:

Si un paramètre (ex. \mathcal{L}) change lentement par rapport à l'échelle de temps caractéristique de la dynamique (ex. période de libration), l'évolution suit la trajectoire que, pour chaque valeur du paramètre, confine la même aire.



Migration et capture en résonance

Mais le principe adiabatique est valide seulement si la migration est lente par rapport à la libration





Amortissement de l'excentricité et effets sur la résonance

En plus de forcer la migration de la planète, le disque exerce aussi un amortissement de l'excentricité:

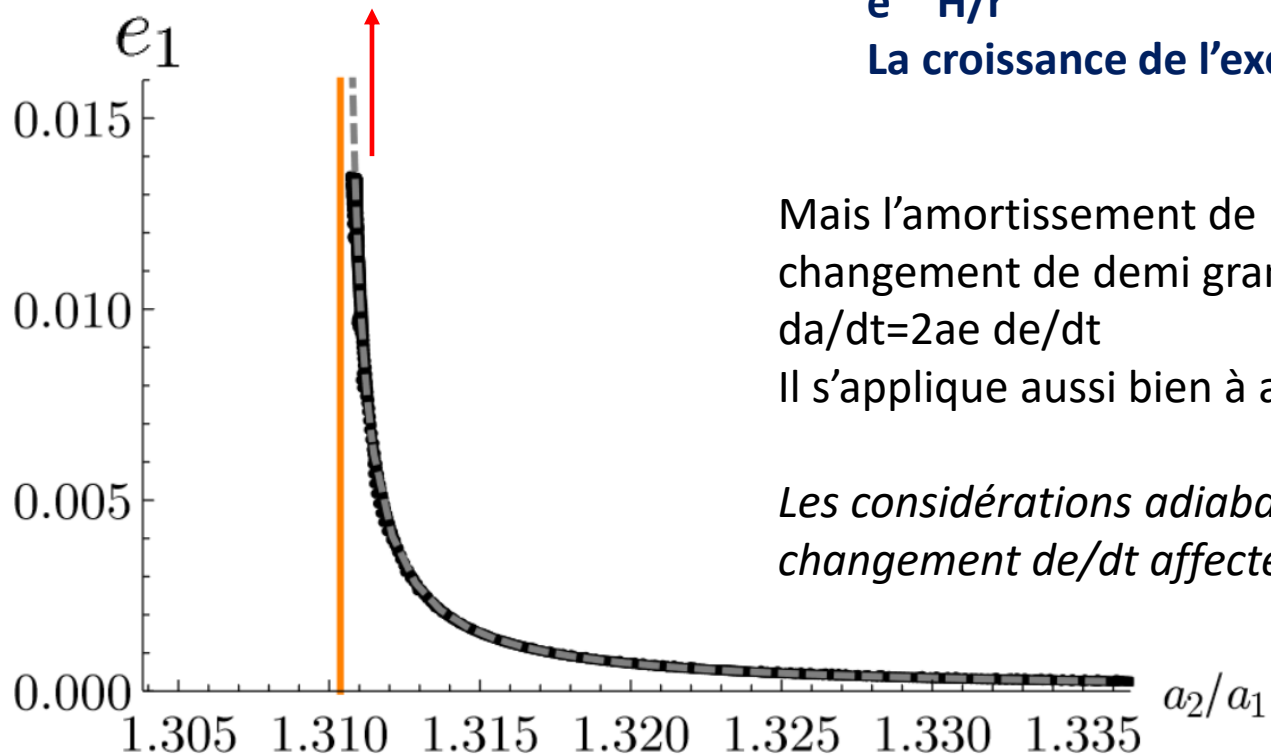
$$de/dt \sim e d\mathcal{L}/dt (H/r)^{-2}$$

Dans la limite $\alpha = \text{const.}$
 $de/dt = -d\mathcal{L}/dt (a^{1/2}e)^{-1}$

Les deux effets s'annulent pour:

$$e \sim H/r$$

La croissance de l'excentricité s'arrête. Un équilibre est atteint



Mais l'amortissement de l'excentricité pour $\mathcal{L} = \text{const.}$ induit un changement de demi grand axe égal à:

$$da/dt = 2ae de/dt$$

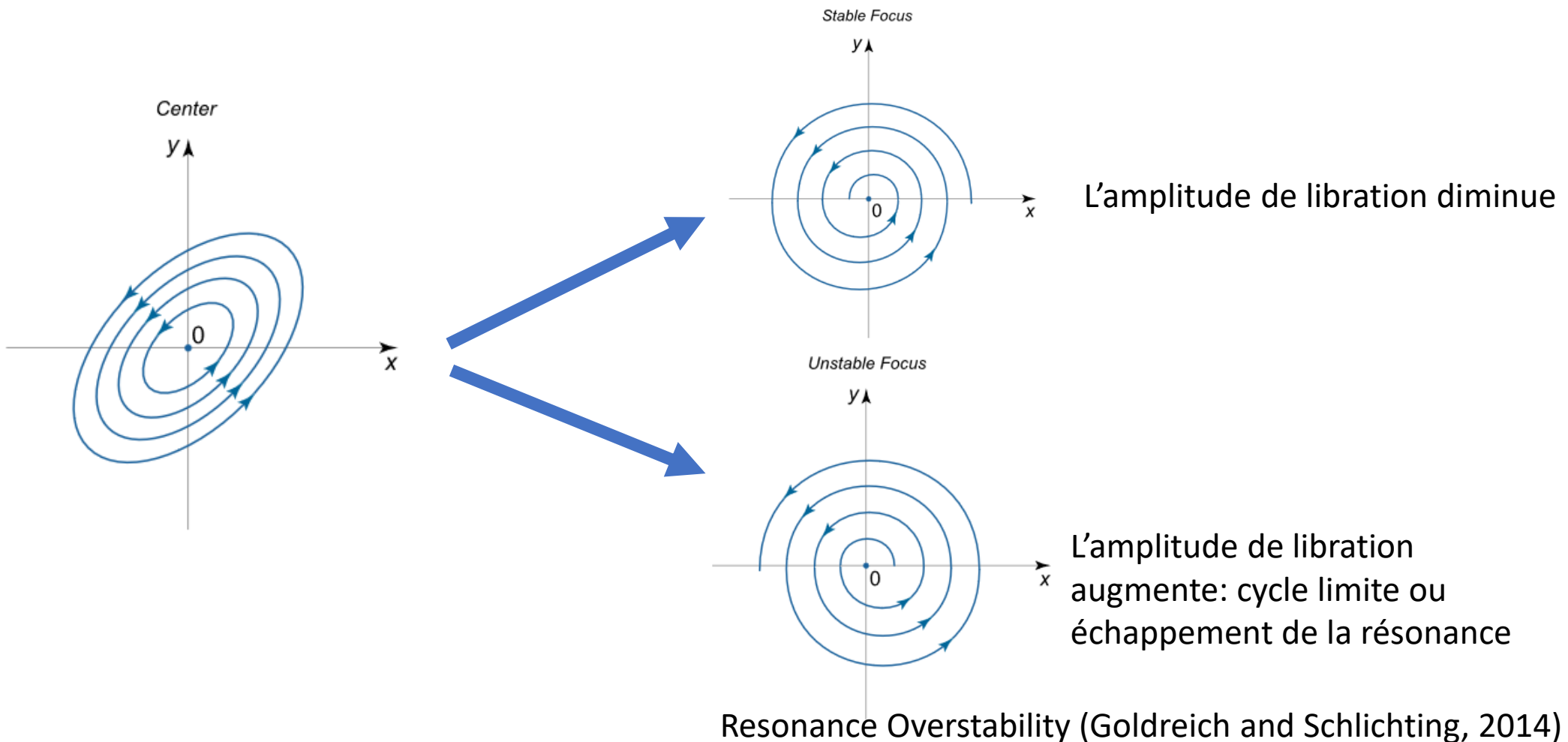
Il s'applique aussi bien à a_2 que à a_1

Les considérations adiabatiques ne s'appliquent pas car le changement de/dt affecte une coordonnée, pas un paramètre.



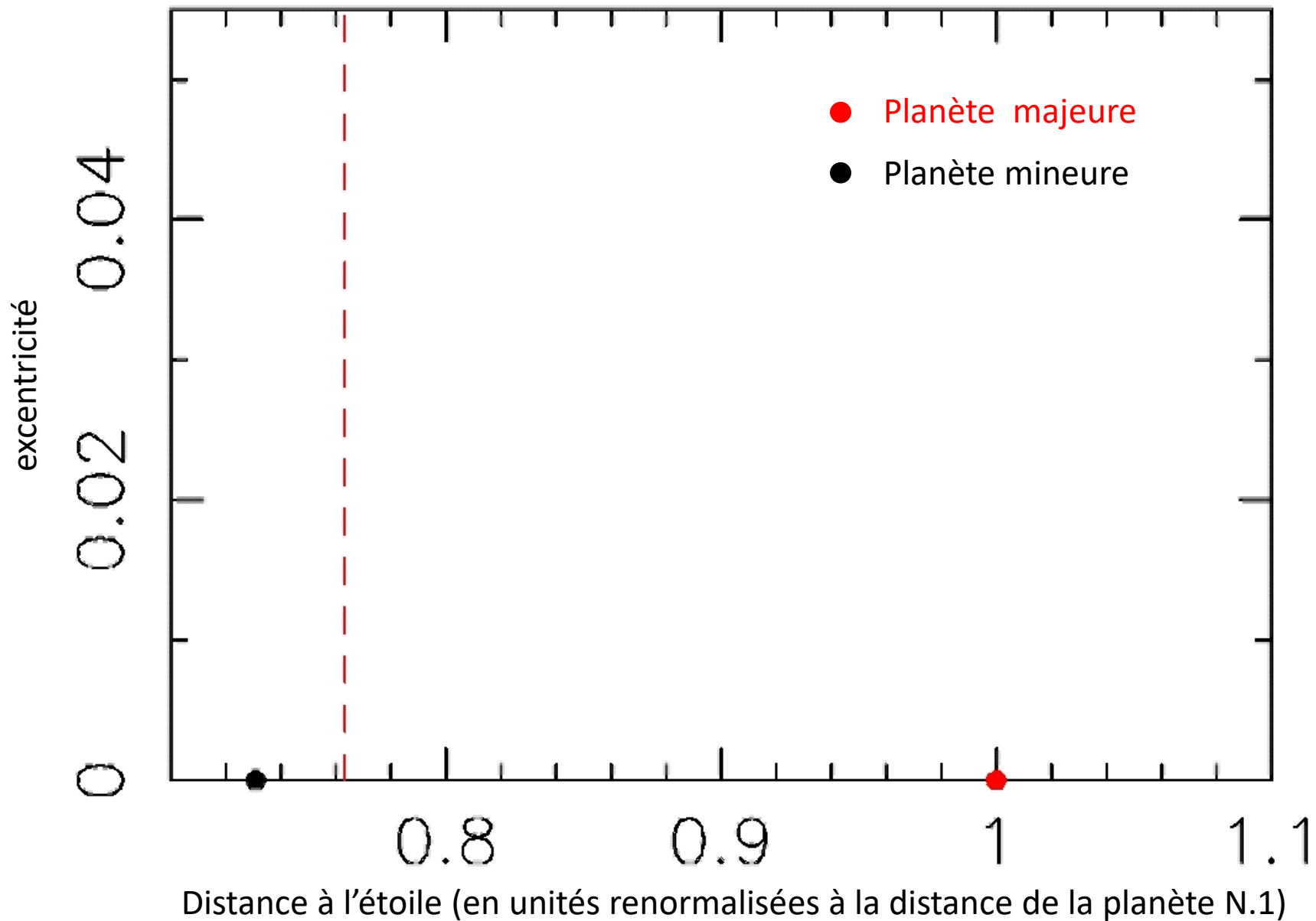
Amortissement de l'excentricité et effets sur la résonance

Sous l'effet de l'amortissement de l'excentricité le point d'équilibre résonnant n'est plus un *centre*. Il devient soit un *foyer* stable ou instable :





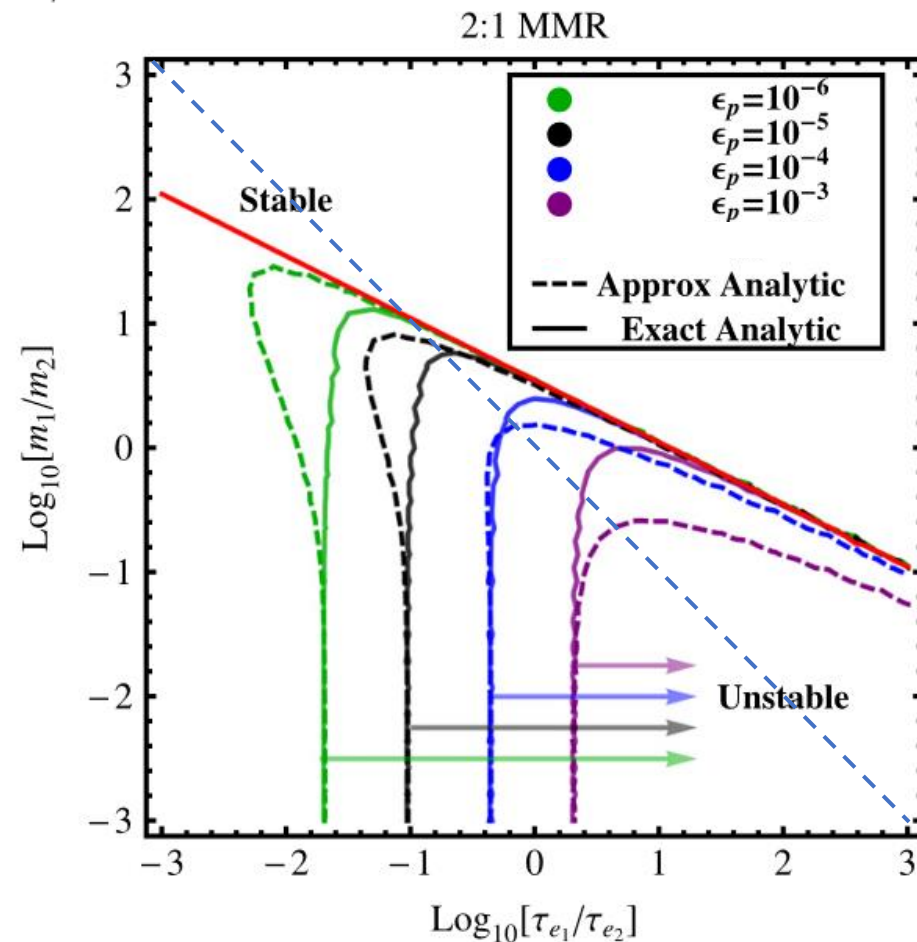
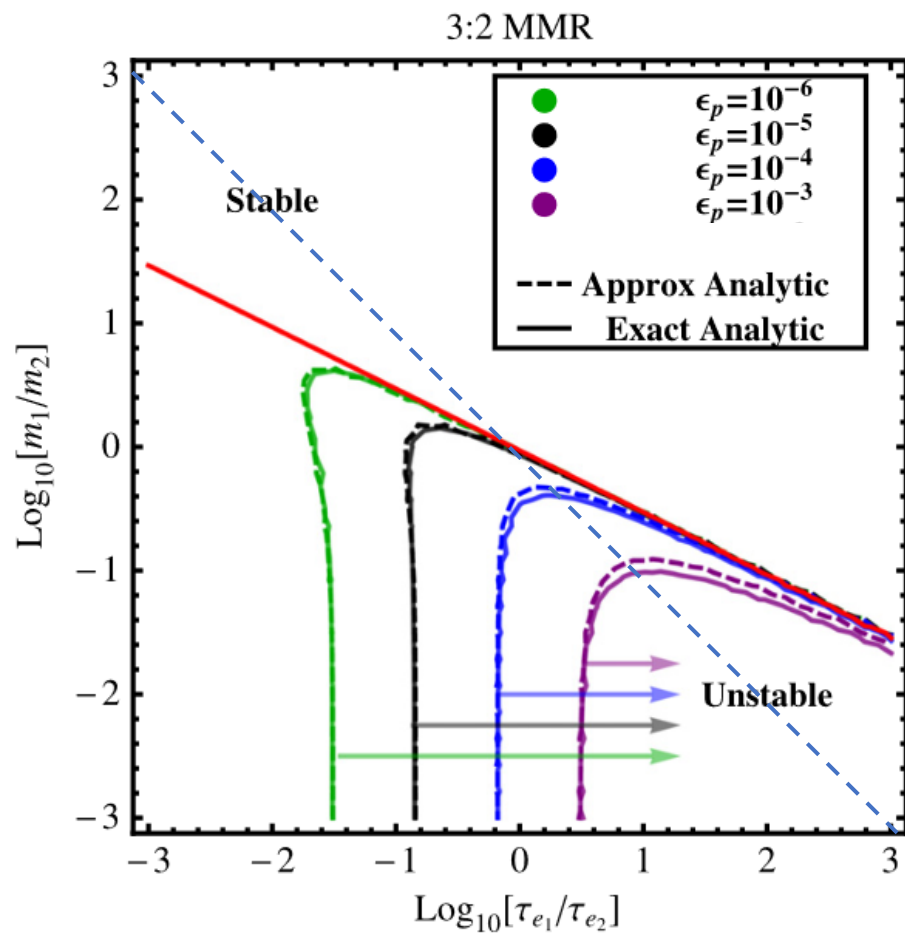
Instabilité après capture en résonance





Amortissement de l'excentricité et effets sur la résonance

$$\epsilon_p = (m_1 + m_2)/M_*$$



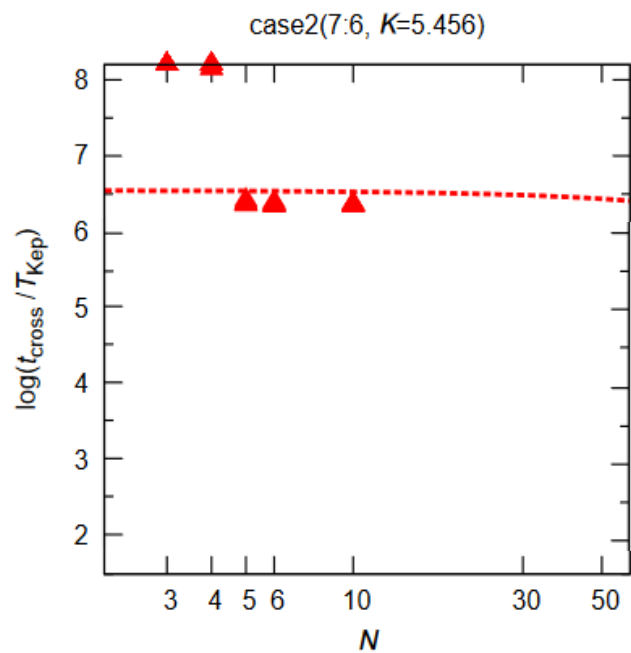
$$[-1/e \, de/dt]^{-1} \equiv \tau_e \sim \frac{M_*}{m} \frac{M_*}{\Sigma a^2} \frac{h^4}{\sqrt{GM_*/a^3}}$$

Deck and Batygin, 2015, ApJ, 810, 119

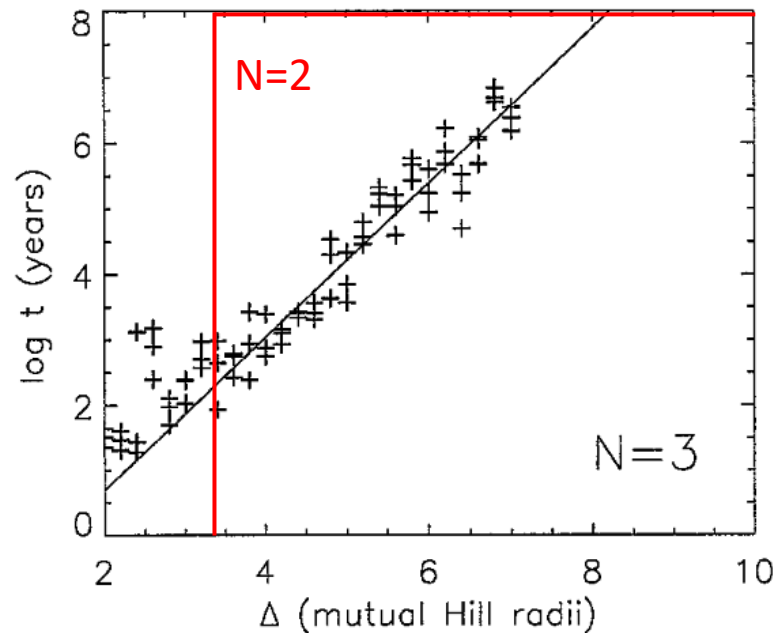


Interactions à trois planètes

Matsumoto et al., 2012



Chambers et al., 1996



Nous avons vu que les chaînes résonnantes deviennent instables si on rajoute trop ($\gg 2$) de planètes. Aussi, s'il y a 3 (ou plus) planètes non-résonnantes, le temps d'instabilité croit progressivement avec leur distance mutuelle alors que pour un système à deux planètes le système est stable pour toute distance $\Delta > 2\sqrt{3}$

Clairement, il y a des effets multi-planètes qu'on ne peut pas comprendre par des interactions entre couples de planètes voisines



Interactions à trois planètes

Mais l'Hamiltonien du problème s'écrit comme somme d'interactions à 2 planètes:

$$\mathcal{H} = \sum_{j=1}^N \frac{\|\mathbf{v}_j\|^2}{2\mu_j} - \frac{\mathcal{G}(M_* + m_j)\mu_j}{\|\mathbf{r}_j\|} + \sum_{j=1}^N \sum_{i=1}^{j-1} \left\{ \frac{\mathbf{v}_i \cdot \mathbf{v}_j}{M_*} - \mathcal{G} \frac{m_i m_j}{\|\Delta_{i,j}\|} \right\}$$

Comment est-ce que les interactions multi-planète émergent?

L'opération de moyennisation sur les angles non-résonnantes est la clef et elle doit être faite de façon rigoureuse, c'est à dire par changement canonique des variables.



Moyennisation par transformation canonique

L'Hamiltonien de l'interaction entre deux planètes (sur le même plan) s'écrit:

$$\mathcal{H} = \underbrace{-\frac{\mathcal{G}^2 M_*^2 m_1^3}{2\Lambda_1^2} - \frac{\mathcal{G}^2 M_*^2 m_2^3}{2\Lambda_2^2}}_{O(m)} + \sum_{k_1+k_2-j_1-j_2=0} \underbrace{c_{k_1, k_2, j_1, j_2}(\Lambda_1, \Lambda_2, \Gamma_1, \Gamma_2)}_{O(m^2)} \cos(k_1 \lambda_1 + k_2 \lambda_2 + j_1 \gamma_1 + j_2 \gamma_2)$$

Variables d'action-angle

$$\Lambda = \mu \sqrt{\mathcal{G}(M_* + m)a}$$

$$\lambda = l + \varpi$$

$$\mu = \frac{mM_*}{m+M_*}$$

$$\Gamma = \Lambda (1 - \sqrt{1 - e^2}) \simeq \Lambda e^2 / 2$$

$$\gamma = -\varpi$$

$O(m)$

Pour simplifier, expansion en $\delta\Lambda = \Lambda - [\Lambda] = O(m^2)$

$$\mathcal{H} = \underbrace{\Omega_1 \delta\Lambda_1 + \Omega_2 \delta\Lambda_2}_{O(m^2)} + \underbrace{O(\delta\Lambda^2)}_{O(m^4)} + \sum_{k_1+k_2-j_1-j_2=0} \underbrace{c_{k_1, k_2, j_1, j_2}([\Lambda_1], [\Lambda_2], [\Gamma_1], [\Gamma_2])}_{O(m^2)} \cos(k_1 \lambda_1 + k_2 \lambda_2 + j_1 \gamma_1 + j_2 \gamma_2) + \underbrace{O(m^2 \delta\Lambda)}_{O(m^4)}$$



Moyennisation par transformation canonique

$$\mathcal{H} = \Omega_1 \delta \Lambda'_1 + \Omega_2 \delta \Lambda'_2 + O(\delta \Lambda^2) \\ + \sum_{k_1+k_2-j_1-j_2=0} c_{k_1,k_2,j_1,j_2}([\Lambda_1],[\Lambda_2],[\Gamma_1],[\Gamma_2]) \cos(k_1 \lambda_1 + k_2 \lambda_2 + j_1 \gamma_1 + j_2 \gamma_2) + O(m^2 \delta \Lambda)$$

On cherche une transformation canonique pour moyenner (i.e. éliminer) les termes non-résonnant:

$$k_1 \Omega_1 + k_2 \Omega_2 \neq 0$$

$$\delta \Lambda_1 = \delta \Lambda'_1 - \sum_{k_1 \Omega_1 + k_2 \Omega_2 \neq 0} \frac{k_1 c_{k_1,k_2,j_1,j_2}([\Lambda_1],[\Lambda_2],[\Gamma_1],[\Gamma_2])}{k_1 \Omega_1 + k_2 \Omega_2} \cos(k_1 \lambda'_1 + k_2 \lambda'_2 + j_1 \gamma'_1 + j_2 \gamma'_2) \quad \lambda_1 = \lambda'_1$$

$$\delta \Lambda_2 = \delta \Lambda'_2 - \sum_{k_1 \Omega_1 + k_2 \Omega_2 \neq 0} \frac{k_2 c_{k_1,k_2,j_1,j_2}([\Lambda_1],[\Lambda_2],[\Gamma_1],[\Gamma_2])}{k_1 \Omega_1 + k_2 \Omega_2} \cos(k_1 \lambda'_1 + k_2 \lambda'_2 + j_1 \gamma'_1 + j_2 \gamma'_2) \quad \lambda_2 = \lambda'_2$$

$$\delta \Gamma_1 = \delta \Gamma'_1 - \sum_{k_1 \Omega_1 + k_2 \Omega_2 \neq 0} \frac{j_1 c_{k_1,k_2,j_1,j_2}([\Lambda_1],[\Lambda_2],[\Gamma_1],[\Gamma_2])}{k_1 \Omega_1 + k_2 \Omega_2} \cos(k_1 \lambda'_1 + k_2 \lambda'_2 + j_1 \gamma'_1 + j_2 \gamma'_2) \quad \gamma_1 = \gamma'_1$$

$$\delta \Gamma_2 = \delta \Gamma'_2 - \sum_{k_1 \Omega_1 + k_2 \Omega_2 \neq 0} \frac{j_2 c_{k_1,k_2,j_1,j_2}([\Lambda_1],[\Lambda_2],[\Gamma_1],[\Gamma_2])}{k_1 \Omega_1 + k_2 \Omega_2} \cos(k_1 \lambda'_1 + k_2 \lambda'_2 + j_1 \gamma'_1 + j_2 \gamma'_2) \quad \gamma_2 = \gamma'_2$$



Origine des termes couplant trois planètes

L'insertion de cette transformation dans le terme de l'hamiltonien couplant les planètes 2 et 3:

$$\sum_{k_2+k_3-j_2-j_3=0} c_{k_2,k_3,j_2,j_3}(\Lambda_2, \Lambda_3, \Gamma_2, \Gamma_3) \cos(k_2\lambda_2 + k_3\lambda_3 + j_2\gamma_2 + j_3\gamma_3)$$

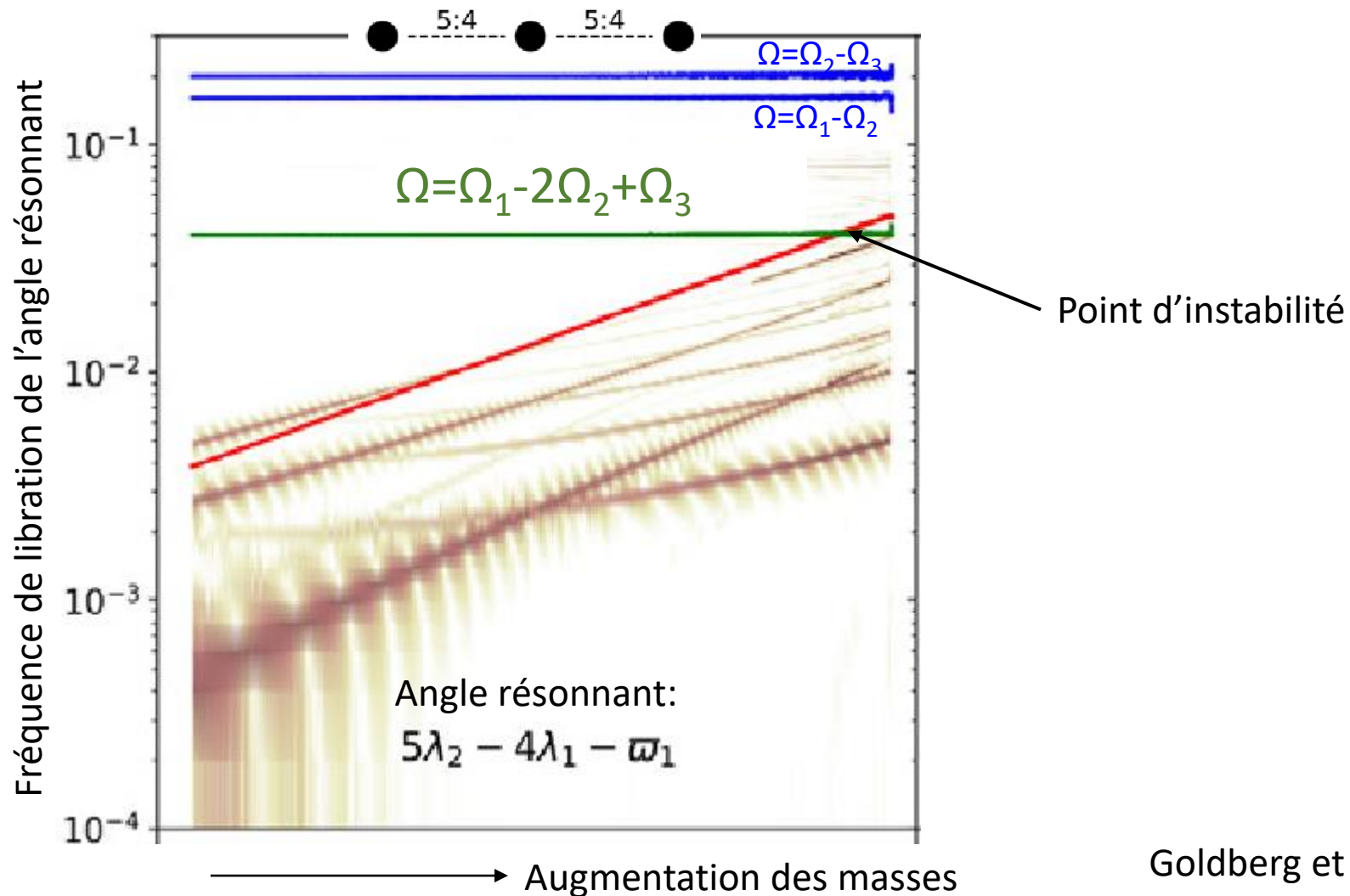
génère des termes $O(m^4)$ avec des harmoniques couplant les trois planètes:

$$\sum_{k_1+k_2+k_3-j_1-j_2-j_3=0} c_{k_1,k_2,k_3,j_1,j_2,j_3} \cos(k_1\lambda_1 + k_2\lambda_2 + k_3\lambda_3 + j_1\gamma_1 + j_2\gamma_2 + j_3\gamma_3)$$



Instabilité des chaînes résonnantes

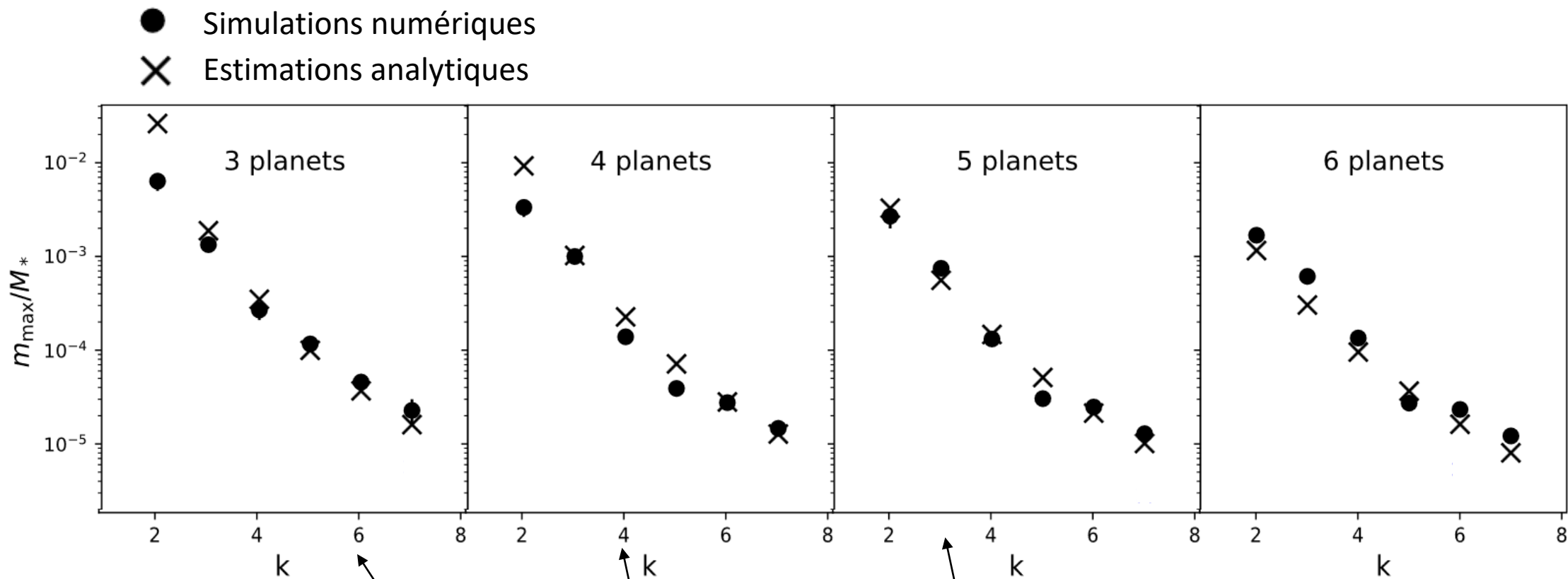
Elle est due à une résonance secondaire, entre la fréquence de libration des deux premières planètes et la différence des fréquences synodiques $\Omega = \Omega_1 - 2\Omega_2 + \Omega_3$ (Pichierri et Morbidelli, 2020; Goldberg et al., 2022)



Goldberg et al., 2022



Instabilité des chaînes résonnantes



k: index de la chaîne résonnante. exemples:

6:5 – 6:5

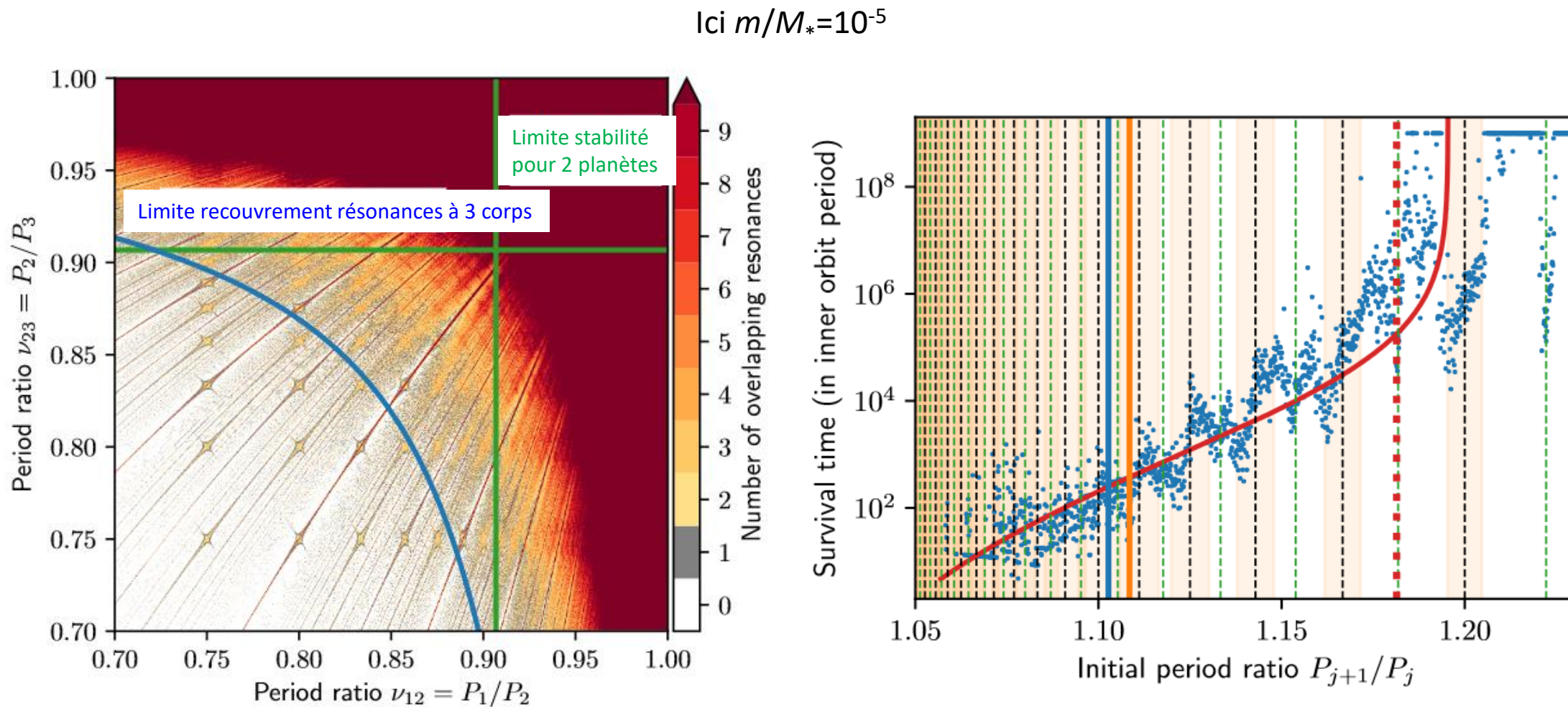
4:3 – 4:3 – 4:3

3:2 – 3:2 – 3:2 – 3:2



Instabilité de trois planètes non-résonnantes

Résonances à trois corps: $k_1\Omega_1+k_2\Omega_2+k_3\Omega_3=0$ sans que $j_1\Omega_1+j_2\Omega_2=0$ et $j_2\Omega_2+j_3\Omega_3=0$ pour tout entier j_1, j_2, j_3



Petit et al. (2020)



A retenir

- Les résonances se comportent comme des pendules: les planètes oscillent autour d'un point d'équilibre
- La migration convergente amène les planètes en résonance
- Ainsi se construisent les chaînes résonnantes, où chaque planète est en résonance à 2 corps avec ses voisines
- La chaîne résonnante est la seule configuration où les distances relatives des planètes (et donc le rapport de leur périodes orbitales) ne change plus, même si la migration continue.
- Si la planète interne est moins massive que celle externe, la résonance en présence du gaz peut être instable. Ainsi les chaînes résonnantes tendent à arranger les planètes en ordre de masses décroissant
- Chaînes résonnantes avec un nombre trop grand de planètes (selon leurs masses) sont instables
- L'instabilité détruit la chaîne résonnante initiale. Ainsi la plupart des systèmes planétaires ne sont pas en résonance aujourd'hui.
- Le formalisme Hamiltonien est l'approche plus adaptée pour étudier mathématiquement les résonances
- Les interactions entre trois planètes apparaissent à l'ordre (relatif) m^2 dans les masses lors de la moyennisation rigoureuse des interactions à deux planètes non-résonnantes via une transformation canonique des variables.
- Les chaînes résonnantes sont déstabilisées par des résonances secondaires entre les fréquences de libration et les fréquences synodiques
- Les résonances à trois corps sont très nombreuses. Leur recouvrement donne la limite de stabilité des systèmes à trois planètes qui ne sont pas dans une chaîne de résonances à 2 corps.



Colloque

Formation du disque protosolaire
et de ses premiers planétésimaux

26 & 27 Juin

